# BOLETIM DA SOCIEOAOE ASTRONÔMICA BRASILEIRA



ANO 8, Nº 4

#### DIRETORIA

Prasidents: RDBERTO VIETRA MARTINS
Vice-Presidents: MIRIANI G. PASTORIZA

Secretário Seral: CABLOS A.P.C.O. TORRES

Secretário: AUGUSTO DAMINEL: NETO

Tesouraire: ZULEMA ARRAMAM

#### EDITOR

Augusto Daminell Neto

#### COMISSÃO FOITOMIAL

Lagres Sodrá Junior Francisco J. Jablonsky

Romágio A. Dottori Romáldo P. Feria

Aveline A. Somez Salboz

#### CORRESPONDÊNCIA

SOCIEDADE ASTRONÓMICA BRASILEIRA

Calka Postal nº 30.627

01051 são Paulo SP

Tel.: (011) 275-3720 Telex: 11 36221 IAGM BR

00000000000

Ente Boletim, editado pela Sociedade Astronômica Brasileira, tem por finalidade informar aos associados sobre as atividades da Sociedade e assuntos gerais relacionados com a Astronomia, bem como, es tabelecer un canal de comunicação dos astrônomos profissionais com o público em geral.

Sendo o Boletim destinado também a velcular idélas dos associa dos pera premover ampla discussão entre astrônomos profissionais, a Sociedade Astronômica Brasileira não assume responsabilidade sobre o teor das contribuições que aparecerem devidamente assinadas por seus autores.

### INDICE

EDITORIAL	01
NOTICIAS ASTRONÔMICAS	02
REUNIDES CIENTÍFICAS	
NOTTCIAS DA DIRETORIA	
RESUMO DAS COMUNICAÇÕES APRESENTADAS NA XIII RE SOCIEDADE ASTRONÔMICA BRASILEIRA	



## EDITORIAL

O trabalho conjunto das sociedades científicas, reunidas na SBPC, acaba de dar um bom resultado: a criação do Conselho Delibera tivo do CNPq. Os prazos para eleição dos componentes do Conselho foram muito curtos, tendo em vista as bases nacionais destas sociedades. Os procedimentos que tiveram que ser adotados pelas direto rias das sociedades não satisfizeram completamente os pesquisadores que esperavam como é justo, uma eleição direta. Entretanto, o passo que está sendo dado é histórico. Finalmente temos no CNPq algo mais próximo a uma democracia: as decisões dos assuntos científicos nas mãos de quem realmente vive o dia a dia da pesquisa. É claro que po der de decisão sem recursos financeiros não é poder sobre nada. As verbas ainda são insuficientes para um funcionamento mínimo, em muitas áreas.

No que toca a Astronomia, o LNA (Laboratório Nacional de Astrofísica) é o ponto mais sensível. As recentes perdas de pessoal científico e técnico aprofundaram a crise desta jovem instiguição. Receamos novas perdas, não so por motivos salariais, mas, principalmente pela insegurança de quem la trabalha, com o futuro do Laboratório. O CNPq não pode adiar mais o desfecho do processo que defina claramente a situação institucional do LNA.

#### NOTA DE FALECIMENTO

\*\*\*\*\*\*\*\*\*\*\*\*\*\*

Ximena Hube Canales faleccu no dan 12/06, vilima de um absurdo neidente de trânsito. Ela cursava pôs-graduação no 1AG-USP e desen volvia tese sobre "Sintese Teórica de Indices Fotométricos".

Para quem convivia com ela, com seus planos de vida e trabalho fica esta sensação de irreparâvel perda. Queremos nos despedir publicamente dela, mesmo que este gesto simbólico signifique apenas alguma forma de movimento na dor paralizante que nos atenaca.

## NOTÍCIAS ASTRONÔMICAS

Organizado por Laente Sodré Junior Instituto Astronômico e Geofísico da USP

# SUPERNOVA OBSERVADA NO INTELO DA EXPLOSÃO

Uma supernova, o resultado de uma colossal explosão estelar, e observada, normalmente, apenas depois de atingir seu maximo bri Tho, quando fica algumas cente nas de milhões de vezes mais bri Thanke due o Sol. No and passa do V.S. Niemela, M.T. Ruiz e M. M. Philips publicaram os resulta dos do estudo de uma supernova observada em 1983 na galáxia NGC 4699 (Ap. J. 289, 52, 1985). Pe la primeira vez foi possível ob servar-se uma supernova no lato da explosão. O espectro do obje to foi obtido em vários noites, de duas semanas antes do máximo brilho até mais de um mês depois.

A supernova e do tipo II, que se acredita estarem associadas a estrelas massivas, nas quais, após uma evolução relativamente rápida, o núcleo colapsa e provoca uma enorme onda de choque que se expande arrastando o material externo da estrela. O espectro antes do máximo da su pernova observada mostra emis

sães muito fortes provenientes do hidrogêsio, hélio ionizado e do nitropênio duplamente ioniza do, muito parecido com o das es trelas Wolf-Rayet, Estas são es trelas massivas, com um envelope extenso, que Maeder e Lequeux (A & A 114, 409, 1982) ja haviam sugerido como possíveis progeni toras das supernovas tipo II. Mas não se pode eliminar a hipôtese de que a emissão de hitrogêbio observada resulte, por exemplo, da explosão de uma estrela super giquate vermelha com um envelope espesso rico em nitrogênio já an tes da explosão.

# INTERAÇÃO DE GALÂXIAS E ATIVIDADE

W. Keel e colaboradores, de Kitt Peak, estudaram 161 gal $\frac{2}{a}$  xias espirais em interação com outras gal $\frac{2}{a}$ xias e as compararam com outras espirais supostas isoladas (Astron. J. maio, 1985). Os

resultados sugerem que a ativida de no núcleo de uma galâxia  $\vec{e}$  ocasionada pelo influxo de gas do seu disco devido as mares in duzidas pelas galaxias vizinhas. Não existe, aparentemente, transferência de gas entre as galaxias.

Os autores observaram tam ban que as galáxias de Seyfert ocorrem mais frequentemente en tre pares próximos, embora os núcleos mais luminosos sejam menos frequentes em sistemas muito per turbados. A razão disso, talvez, ê que o núcleo e o disco de uma galáxia respondem às perturbações das marês em escalas de tem po muito diferentes.

#### O MAIS LUMINOSO AGLOMERADO ESTE LAR CONHECIDO

Quando, por alguma razão, uma nuvem interestelar massiva sofre uma compressão que a torna gravitacionalmente instâvel, ela colapsa e se fragmenta e pode le var a uma violenta formação de estrelas. Milhares de estrelas massivas nascem quase que simul taneamente em um pequeno volume do espaço. Este processo pode ter ocorrido na galâxia NGC1705.

Observando esta galâxia, a 30 milhões de anos luz de dis tância, J. Melnick, da Universi dade do Chile, e colaboradores descobriram o que parace ser o mais luminoso aglomerado estelar conhecido, com uma luminosidade mais de 100 milhões de vezes a do Sol. Os espectros do aglomera do — conhecido por NGC1705-A — revalam características de estre las quentes e frias misturadas. A ausência de qualquer evidência espectral de estrelas tipo 0 ou Holf-Rayet, de vida muito curta, sugerem que o aglomerado originou-se há uns 9 milhões de anos.

# B335 - A PRIMEIRA PROTOESTRELA OBSERVADA?

Os glóbulos de Bok são quenos corpos escuros onde estrela pode estar se formando. B335 e o mais estudado desses ob jetos. G. See e colaboradores observaram este globulo na região submilimetrica do espectro, em 0.36 mm e 0.75 mm, e consequiram resolver parcialmente uma massa fria, escura e compacta em seu centro (MNRAS, julho 1, 1985). A temperatura e a massa dessa re gião central sugerem que ela es tã colapsando. Os autores acreditam que o núcleo protoestelar es ta envolvido por um disco de a cresção que está canalizando o ma terial dos jatos que tem sido ob servados no comprimento de onda da linha de absorção do CO.

Embora vārias fontes infra

vermelhas tenham sido sugeridas como protoestrelas, e dificil sa ber se são objetos realmente pre estelares ou estrelas muito jo vens. B335 esta colapsando e po de ser a primeira protoestrela autêntica descoberta

#### UM NOVO FILME PARA A ASTRONOMIA

A emulsão SB, da Kodak, nor malmente usada pelos medicos em diagnósticos de rajos X. pode também ser usada em Astronomia. C. Phillips e colaboradores veri ficaram que esta emulsão, hiper sensibilizada a 65° C durante 6 horas, pode ser uma excelente al ternativa para fotografias na re gião azul do espectro (AAS Photo Bulletin, no 39, 1985). O filme SB hipersensibilizado é mais de duas vezes mais rapido que o 103a-0. otimamente sensibiliza do, embora exiba um pouco mais de contraste e granulação. Além do mais, um filme SB e mais de 20 vezes mais barato que uma pla ca 103a-0.

# A SOLUÇÃO PARA O PROBLEMA DOS NEUTRINOS SOLARES.

O problema dos neutrinos so

(F. Jablonski 🖹 INPE/MCT)

# lares jã tem quase vinte anos. Sabe-se que a fonte de energia do Sol são as reacões nucleares

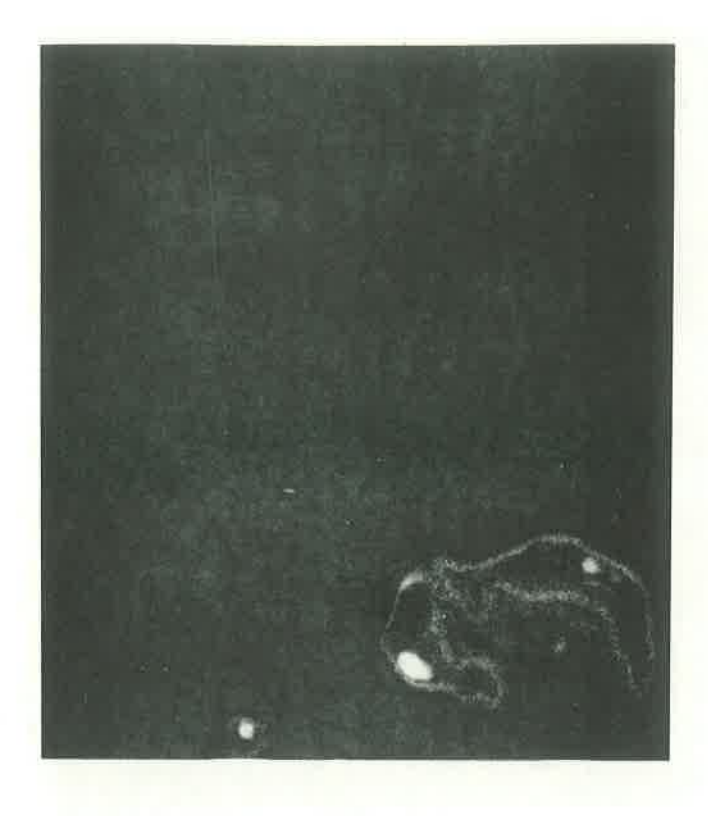
que ocorrem em seu interior. Es sas mesmas reações, que explicam uma vasta gama de fenômenos de estrutura e evolução das estre las, devem produzir neutrinos a uma certa taxa. Medindo o fluxo de neutrinos na Terra, pode-se verificar essa previsão. O "problema dos neutrinos soldres" ē

que apenas 1/3 da taxa predita é

observada.

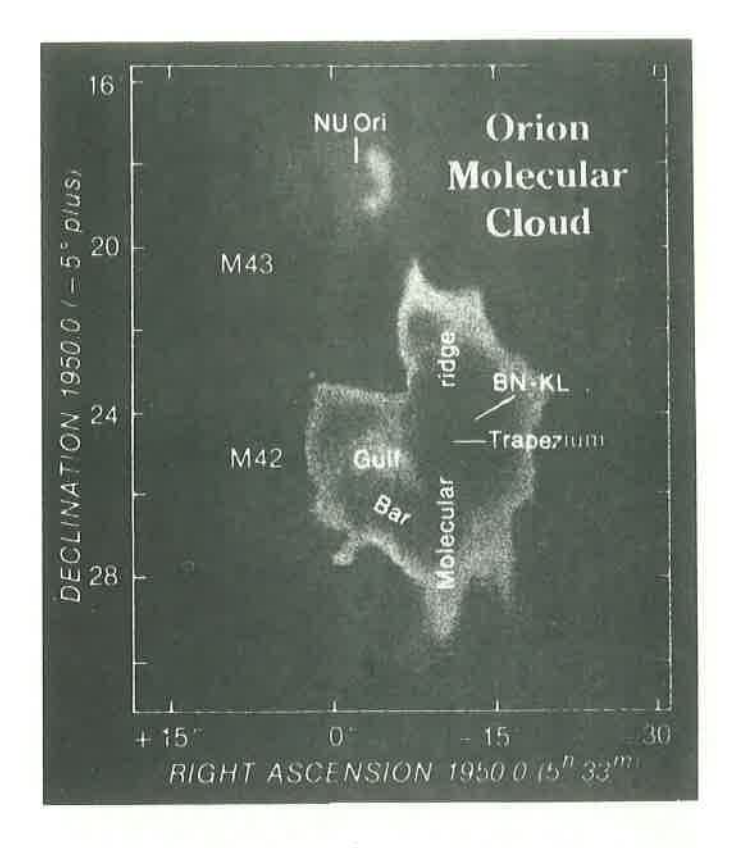
Dois físicos soviēticos. Mikhevev e Smirnov, parecem ter encontrado a solução do enigma: a inclusão de um efeito (conheci do desde 1978) devido as intera cões fracas entre neutrinos, nos cãlculos. Segundo a nova explica cão, neutrinos eletrônicos emiti dos no núcleo do Sol transmutamse em neutrinos muonicos à medi da que escapam. As partículas transformadas não são detectã veis pelo detector de Homestack na Dakota do Sul/USA. O físico Hans Bethe chamou a atenção para o trabalho dos soviéticos Phys. Rev. Lett. 56, 1305, deste ano, dizendo que pensa que é a orimeira explicação para o pro blema dos neutrinos solares que pode estar certa. O trabalho dos soviéticos permitiu que Bethe e colaboradores estabelecessem um novo limite superior para a mas sa dos neutrinos muônicos: 0,008 ۵V

UM JATO EM UM RESTO DE SUPERNOVA



Quando uma estrela explode na forma de uma supernova, o ma terial que a constituía e que é ejetado aparece como uma nebulo sidade em expansão, conhacida co mo "resto de supernova". Usando o radiotelescópio da Universida de da Sydney, R.S. Roger e cola boradores observaram um objeto daste tipo, G332.4+0.1 (ou Kesteven 32') no comprimento da onda de 36 cm (Nature, 4 de julho, 1985). A aparência é típica, exceto por um

jato que, aparentemente, emerga da envoltória e se axpande am uma nuvem com cerca de 45 minutos de arco de extensão. Entre vã rias possibilidadas, os autores concluem qua, se o jato astiver fisicamente associado ao resto de supernova, ele resultaria da um feixe de partículas emitidas pelo objeto compacto que restou da explosão, ou de uma estrutura gasosa preexistente ionizada pela estrela antes de ela explodir.



Desde hã uns vinte anos se be-se que a Nebulosa de Orion (M42 e M43) é parte de uma gigan tesca nuvem de gas e poeira conhecida como OMC 1 (Orion Molecular Cloud 1), observável apenas nas regiões rádio e infravermelha do espectro. Embora a Nebalosa de Orion sejamuito estudada, apenas recentemente OMC 1 como um todo começou a ser melhor conhecida, primeiro pelas observações feitas pelo satélite IRAS e, agora, por

um refletar de 36 polegadas a bor do do observatório voador Kuiper, da NASA (Thronson et al., Astron. J. a ser publicado).

Embebido no meio da nuvem, existe um aglomerado estelar mui to jovem que se sítua sm uma re gião muito luminosa no infraver melho, na direção norte-sul, co nhecida como "cordilheira molecular". O aglomerado é muito lumi moso (nm de seus membros, IRs2, cozinho, emite mais energia que

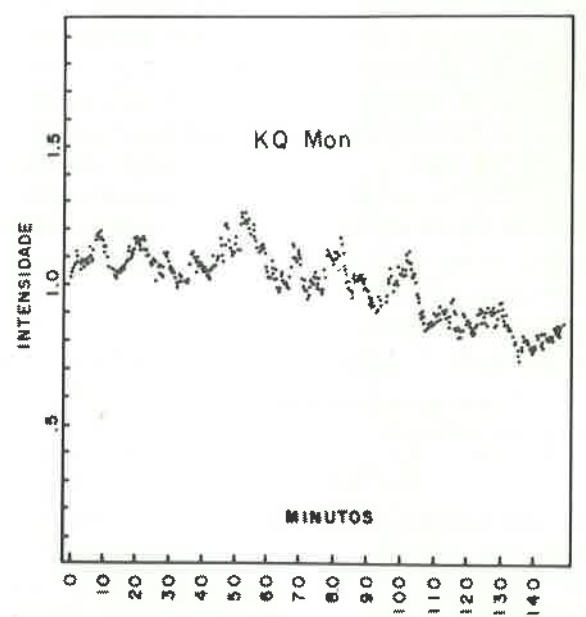
40 mil sõís) mas é altamente obs curecído pelo gás e poeíra. A re gião visível de OMC l, a Nebulo sa de Orion, é iluminada por um quarteto de estrelas, o "trapé zio", a l minuto de arco a sudes te do aglomerado, e que se situa fora da nuvem, no lado voltado para a Terra. A 3 minutos de arco a sudeste do trapézio existe uma região intensa de emissão, na forma de barra, incerpretada como sendo constituida de maté rial que se agrega à nebulosa

conforme ela se expande. Ao nor te da barra, uma região mais fra ca, conhecida como "golfo" estã, provavelmente, associada a poeira aquecida, na qual as moléculas foram destruidas pela radiação das estrelas do trapēzio.

M43, a nordeste de M42, mostra uma concha parcial envolvando NU Orionis, uma estrela jovem que parece sítuar-se no centro de uma boiha formada por sua radiação e vento estelar, emum dostordos de OMC 1.



#### UMA NOVA VARIĀVEL CATACLĪSMICA DESCOBERTA NO LNA: KO MONOCEROTIS



Curva de laz (sem filtro) dos dados brutos de KQ Mon. Cada ponto representa 10 s de integração. A curvatura do gráfico deve-se à extinção atmosférica, uma vez que a observação foi efetuada a grandes ângulos

horários. Nas abcissas temos o tempo em minutos e nas ordenadas o fluxo normalizado para a média.

Como subprodute de um prograna de fotometria de variáveis in requiares, que vem sendo realiza da por D. Cieslinski (IAG/USP). J. Steiner e F. Jablonski (INPE/ MCT), descobrinos que a estrela KQ Mon  $(a_{1000} = 7^{h}26^{m}36^{s}; \delta_{1000}$ = -10°09!0) anteriormente classi ficada como variável irregular do tipo L. é na verdade um siste ma Binário compacto, onde uma es trela aná vermelha transfere ma têria, via disco de acrescência. para um objeto compacto (ana bran ca ou estrela de neutrons). Em outras palavras, é uma variável cataclísmica. A magnitude e cores médias observadas em quatro noi tes no começo de majo, usando o fotômetro Texas acoplado ao teles copio de 1.6 m do LNA são:

V=12,90 B-V=0,01 U-B=0,88 A figura mostra uma curva de luz típica de KQ Mon. É marcante a presença das variações rápidas de brilho, a cintilação intrínseca, típica de sistema deste tipo.

Chama a atenção o foto de que uma variável cataclismica as sim brilhanse tenha passado desa percebida até hoie. Sua auséncia nos levantamentos de ratos-X do ces inteiro e aprovável husencia de Transições de estados alto/ baixo no vistvet tornam esse sis tema um candidato provavel à subclasse de estrelas como UX UMa. Nestes objetos, asaltas taxas de acrescência de matéria e a fraca magnetização da primária inibem a produção copiosa de raios-X, ao mesmo tempo em que mantem o sistema durante a major parte do tempo num estado "alto" de brilho (Sptice).

Em 4 noîtes, KQ Mon foi observada durante 2 horas cada noite, não sendo possível até o momento, dizer qualquer coisa a respeito do período orbital da binãria.

(f. Jablonski = INPE/MCT)

A CAPA

\*\*\*\*\*\*\*\*

Foto de Cen A. com a supernova SN 1986 G.

Data: 7-8/06/86

Telescópio: 60 cm Zeiss

Placa: Liab Hipersensibilizada + intensificador de imagem

- 08 -

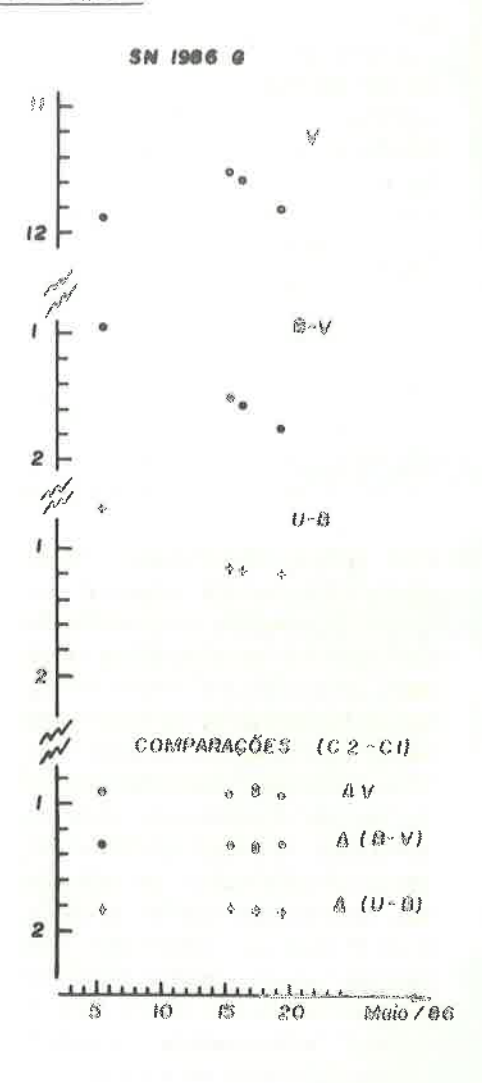
Tempi: 1 minuto, sem guiagem

Autor: Rodrigo Campos

LABORATÓRIO NACIONAL DE ASTROFÍSICA/CNPª

#o dia 03/05/86, um astrôno so amader australiano descobrte a sétima supernova deste ano, na galāxia NGC 5128. A. dascobersa tem extrema relevância, uma vez que tanto a nova estrela em si. quanto a galaxia-mãe, ção obje tos peculiares. Centagras-A 8 a galāxia mais prēxima de nos acenter um nucleo azivo, ou seja, uma fonte compacta e eneroEtica de radiação eletromagnética. A su pernova ancontra-se em meio afai xa de poeira tão característica de Cen A. Durante a última mis são de observações com o telescô pio de 1,6 m do LNA, em realizei medidas do fluxo da SN 1986G, em quatro noites (ver fi gura), sendo que a primeira medi da foi realizada antes do máximo de brilho.

A taxa de queda do brilho (AV = 0.08/dia) indica que o ob jeto é uma supernova do tipo 1. daquelas que ocorrem preferen cialmente em galáxias tipo E ou SØ. Estimo que o maximo de bri The aparente tenha side V = 11.3. Podemos fazer um cálculo rápido para conferir a que distância es tā Cen A, usando os dados da fo tometria e algumas informações a dicionais (Minkowski - Ann. Rev. A & A. 1964). Temos que levar em conta a absorção da luz no mejo interestelar tanto da nossa golã xia quanto de Cen A. A primeira ē A. (v.1.) ≥ 0,2cesecb = 0,6. Minkowski nos diz que uma super



nova do tipo I não fica mais ver melha que B\*V \* 1,0. Como medimos 1,6 para esse Índice,  $A_v$ (SN) de ve ser pelo menos 1,3. Então  $A_v$ (total) \* 1,9. Como se sabe, o máximo de brilho de uma superno va do tipo I é  $M_v$  \* -18,9. Por tanto a distância procurada é:

$$i \cdot \log d \le -\frac{(\Delta m_V + A_V - 5)}{5} \quad ; \quad \Delta m_V = M_V \circ m_V$$

d < 4,6 Mpc

O "Astrophysical Quant." nos da d = 4.4 Mpc. E interessante notar que o avermelhamento observado para esta supernova indica que ela provavelmente esta na borda (no máximo l kpc para o interior) da galáxia.

(F. Jablonski - INPE/MCT)



#### BOLHAS DE MATERIA NO UNIVERSO

Sabe-se jā hā algum tempo que a distribuição espacial das galāxias, embora provavelmente uniforme em escalas muito gran des, apresenta uma forma irregu lar e filamentaria em escalas me nores (- 100 Mpc); Grandes va zios, cobrindo extensões de até 50 Mpc são encontrados, onde pra ticamente nenhuma galāxia bri lhante é observada. Os teóricos nos explicavam que as galáxias e os filamentos observados tive ram uma origem comum a partir do colapso anisotrópico de imensas nuvens, extremamente instaveis contra as forcas de atração gra vitacional. As galáxias teriam nascido da fragmentação inter na dessas nuvens durante a fase de colapso. Os vazios observados seriam simplesmente os espaços va zios entre estes filamentos.

Todas essas estruturas — f1 lamentos e vazios — foram sendo descobertas através de medidas sistemáticas do "desvio para o vermelho" (o "redshift") da luz emitida pelas galáxias. Medindose a mudança da frequência das raias espectrais de uma galáxia, produzida pelo efeito Doppler, sabe-se sua velocidade de afas tamento e atravês da lei da expansão universal de Hubble, pode-se estimar sua distância. Desta forma podemos localizar as galáxias no espaço e deduzir sua distribuição geral.

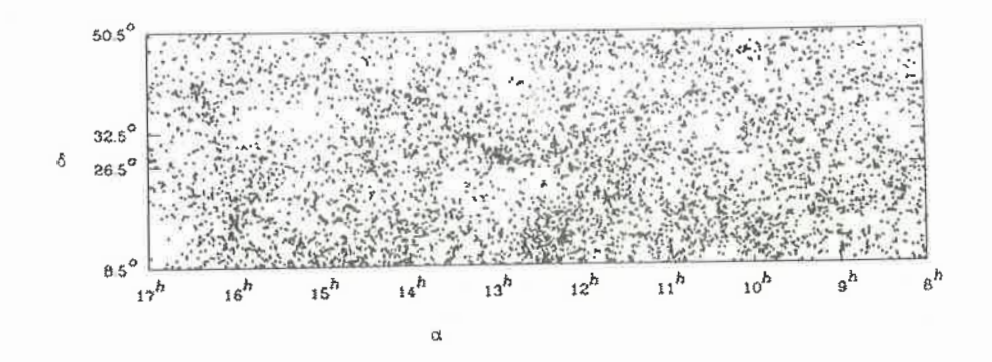
Tudo parecia bem assentado até que os astrônomos decidiram ir um pouco além, medindo as distâncias um pouco maiores de galãxias que são aparentemente menos brilhantes. O trabalho é árduo porque, além da quantidade de luz disponível ser menor, o núme ro de galâxias a serem medidas torna-se muitíssimo maior. Recentemente, um grupo do Center for

Astrophysics, de Harvard, conse quiu completar o trabalho ayma faixa relativamente bequena do ceu (120º x 15º) em torno do a clomerado de galáxias da conste lação de Coma Berenices, mediado as distâncias das galâxias mais brilhantes que a magnitude 15.5 (Ap. J. Lett., 1 marco, 1985). A quilo que eles observaram nesta estreita faixa do cosmos está representada na figura. Cada pon to representa uma galáxia. O que a figura parece sugerir, ao con trário do que se esperava, isto ē, mais filamentos e espaços va zios, são contornos mais ou me nos circulares constituidos de galāxias envolvendo imensos espa cos vazios: qualquer coisa que lembraria a secção de uma super ficie esferoidal constituida pe las galāxias. De fato, as medī das que foram feitas em "fatias" paralelas a esta indicam que a distribuição de galáxias, ao me nos nessa região do céu, tem uma topología parecida com a de uma espuma: a matéria visível do Uni verso estaria distribuida nas cascas de imensas bolhas vazias. A julgar pela posição do Aglome rado de Coma, os aglomerados de Galāxias, estas densas estrutu ras conhecidas jā hā muitas dēca das, seriam formadas na junção de duas ou mais dessas bolhas.

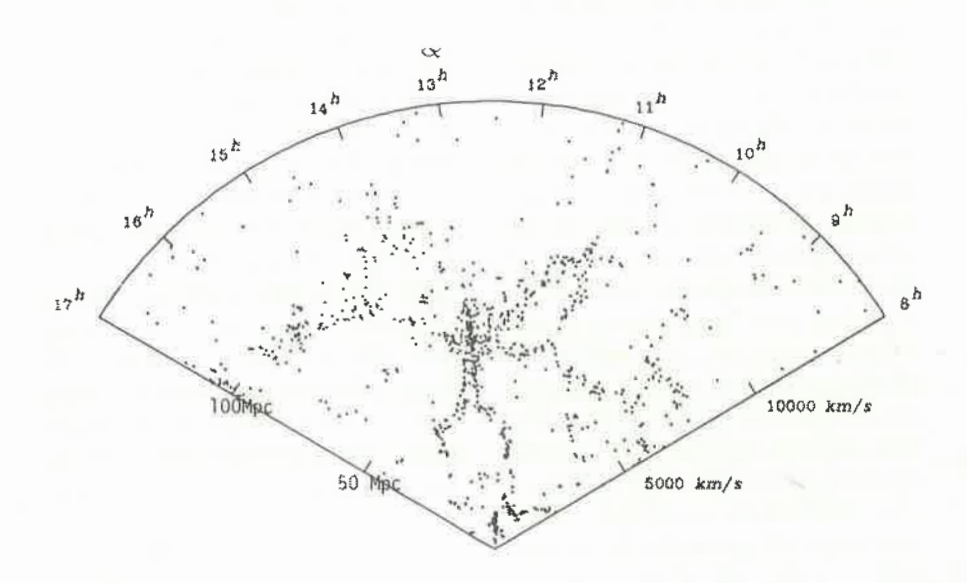
Qual sería a origem dessa distribuição de matéria tão espe

cial? A se confirmarem as aparea cias, menbuma das teorias atual mente em voga tem uma palavra a dizer a respeito. Um único cenã rio, dentre os múltiplos da oro postos, assemelha-se vagamente ao que se observa: trata-se da teoria de vormação induzida de galāxias proposta hā alguns anos por Ostriker e Cowie, de Princeton (Ap. J. 243, L127, 1981). Segun do estes autores, haveria uma pri meira geração de estrelas super massivas, originadas do colapso gravitacional de nuvens primor diais. Estas estrelas, reunidas em estruturas como osaglomerados globulares, evoluiriam rapidamen te, terminando suas vidas mais ou menos simultaneamente na forma de supernovas extremamente energe ticas. Cada uma dessas imensas ex plosões daría origem a uma inten sa onda de choque que, ao se pro pagar, varreria o meio intergalá tico primordial em distâncias de atë 20 Mpc, antes de se resfriar. A matéria acumulada pelo choque tornar-se-ia instavel gravitacio nalmente, fragmentando-se e con densando-se nas galāxias que ve mos hoje. As holhas que observa mos seriam assim originadas. Os seus diâmetros, no entanto, pare cem ser pelo menos duas vezes major que o predito pela teoria.

(Hugo V. Capelato - INPE/MCT)



A figura acima representa a região do cêu que está sendo analisada pelo grupo do CfA. Cada ponto representa uma galáxia (as estrelas foram retiradas do mapa). Abaixo, a visão em profundidade da faixa compreendida entre  $32^{0.5} \in 26^{0.5}$ . A condensação de pontos na parte certal  $(13^{11}, 75 \text{ Mpc})$  corresponde ao aglomerado de Coma.



#### REUNIÕES CIENTÍFICAS

#### WORKSHOP SOBRE ESTÁGIOS AVANÇADOS DE EVOLUÇÃO ESTELAR

W.J. Maciel Instituto Astronômico e Geofísico da USP

Sob o patrocínio da Universidade de Calgary e o Conselho Nacional de Pesquisas do Canadá, foi realizada naquela universidade de 2 a 5 de junho de 1986 um "workshop" sobre os estágios avançados de evolução estelar, compreendendo aspectos da física de estrelas OH/IR, estrelas carbonadas, variáveis do tipo Mira, evolução no AGB ("asymptotic giant branch", ou ramo assintótico das gigantes), nebulosas planetárias e estrelas simbióticas.

A reunião contou com aproximadamente 80 participantes, com a apr $\underline{e}$  sentação de 20 "invited reviews" e 50 comunicações.

Entre os tópicos mais interessantes discutidos destacam-se as recentes observações na faixa do infravermelho e suas implicações no processo de perda de massa, discutidas por T.J. Jones (Minnesota) e P. Wannier (JPL). Observações de alta resolução foram discutidas por M. Dyck (Havaí), com aplicações detalhadas a objetos com VX Sgr.

Observações no dominio rádio foram discutidas por P.F. Bowers (Naval Research Lab.), com destaque para a detecção de emissão de HI em 21 cm pelo envelope circunstelar de  $\alpha$  Orionis por P.F. Bowers e G.R. Knapp (Princeton). O trabalho foi realizado utilizando o VLA ("Very Large Array"), e uma das principais dificuldades refere-se as incertezas introduzidas pela intensa linha de origem galática. O flu xo observado implica uma taxa de perda de massa de 2.2  $10^{-6}$  massas solares por ano para uma distância de 200 pc, e um envelope de raio  $1.8 \ 10^{17}$  cm. em bom acordo com estimativas anteriores.

Observações de estrelas carbonadas foram apresentadas por G.R. Knapp, segundo as quais estas estrelas não são tão raras como ãs vezes se supõe. Entre as 136 estrelas evoluídas detectadas em CO, 68 têm O/C > 1, ou seja, são estrelas oxigenadas, enquanto que 62 têm O/C < 1, correspondendo ãs estrelas carbonadas, colocando apossibilidade de que aproximadamente 50% das estrelas evoluídas sejam carbonadas. Estes objetos foram também observados em rãdio pelo VLA na fai

xa de 6 cm por C. Masson (Caltech), com possíveis implicações nos processos químicos envolvendo especies moleculares nos envelopes des tas estrelas. O mesmo pesquisador apresentou um trabalho sobre a de terminação da expansão angular da nebulosa planetária NGC 7027 obtida com o VLA (ver Masson 1986). A alta resolução do instrumento permite que se obtenha um deslocamento mensurável de 0.0047 segundos de arco por ano em apenas 2.8 anos, em contraste com intervalos de tem po 30 vezes maiores utilizados nos trabalhos ópticos clássicos de Liller e Liller (1968). Com base em um modelo simples para a dinâmica da nebulosa, uma distância de 940 pc é obtida para NGC 7027, em acordo razoável com valores recentes, entre 700 pc (Maciel 1984) e 1.5 kpc (Pottasch et al., 1982). Considerando a grande incerteza na determinação das distâncias às nebulosas planetárias, este mêtodo abre novas e interessantes possibilidades.

A evolução de estrelas de massa intermediária (1-8 massas sola res) na região do AGB foi discutida por I. Iben Jr. (Illinois), espe cialmente no que se refere aos "flashes" do hello, e por D. Schonberner (Kiel) quanto aos espectros teóricos da transição AGB-ECPN (estrelas centrais de nebulosas planetarias). As trajetorias evolutivas no dia grama HR mostram uma região de trânsito entre o topo da AGB, onde se da a ejecão da nebulosa, e a região classica dos modelos evolutivos de Paczynski (1971), onde se encontra a maioria das nebulosas plane tarias com distancias razoavelmente bem conhecidas. O tempo de tran sição pode ser menor ou da ordem de 1000 anos, de qualquer forma in ferior à escala de tempo de vida das planetárias, que é da ordem de 10000 anos. O modelo de interação de ventos, proposto por Kwok al. (1978) para explicar a formação das nebulosas planetárias, foi discutido por S. Kwok (Calcary). Segundo este modelo, o vento "frio" observado nas estrelas gigantes vermelhas deixa a descoberto regiões internas da estrela, dando origem ao vento "quente", observado por exemplo pelos perfis P Cyg das ECNP. A interação dos dois ventos for ma uma região de alta densidade, identificada com a nebulosa planetã ria. De acordo com Kwok, remanescentes do vento frio original podem ser observados nas nebulosas, em especial nos objetos mais jovens e compactos, como NGC 7027 e Vy 2-2. A este respeito têm importância especial as medidas no infravermelho na faixa de 10 micra, onde exis te uma característica de emissão (ou absorção) de silicatos. No tra balho apresentado por Kwok e colaboradores, fontes detectadas pelo IRAS ("Infrared Astronomical Satellite") foram observadas com o CFHT (telescopio de 3.6 m canadense-franco-havaiano), com a identificação de estrelas OH/IR, carbonadas, e nebulosas planetarias jovens.

Ainda com relação às planetárias, uma análise dos trabalhos r≩ - 14 -

centes em interferometria e alta resolução por P.R. Bond (Mt. Stromlo) permitiu a obtenção das massas das nebulosas das Nuyens de Magalhães, tendo como consequência a determinação de uma boa correla ção entre a massa e o rajo das nebulosas. Considerando que relações deste tipo têm sido largamente utilizadas na determinação de distân cias (Maciel 1984; Daub 1982; Milne 1982), o aproveitamento da rela ção massa-raio das planetarias das Nuvens de Magalhães para a calibra ção das distâncias das nebulosas galáticas tornou-se uma possibilida de extremamente atraente. Processos de pulsação e perda de massa fo ram discutidos por L.A. Willson (Canadian Institute for Theoretical Astrophysics). Para as variaveis Mira, é praticamente aceito que a perda de massa se deve à pulsação, em uma região mais interna do en velope, seguida da ação da pressão da radiação em grãos, na região mais externa. A estrutura atmosférica das estrelas foi curiosamente descrita como composta de uma "ondulosfera", onde ocorreria a propa gação de ondas decorrentes da pulsação, uma "agitosfera", onde basi camente ocorreriam os choques, e uma "calorisfera", em que haveria dissipação da energia, transformada em calor, coincidindo com a ori gem do vento supersônico. Hã ainda diversos problemas na interpreta ção básica, geralmente relacionados com o desconhecimento sobre as propriedades dos grãos, discutidas por T. de Jong (Leiden) e sobre os praticamente desconhecidos efeitos do campo magnético.

#### REFERENCIAS

Daub, C.T. 1982, Astrophys. J. 260, 612

Kwok, S.; Purton, C.R.; FitzGerald, P.M. 1978, Astrophys. J. 219,L125 Liller, M.H.; Liller, W. 1968, IAU Symp. 34, ed. D.E. Osterbrock, C. R. ODell, Reidel

Maciel, W.J. 1984, Astron. Astrophys. Suppl. Ser. 55, 253

Maciel, W.J.; Pottasch, S.R. 1980, Astron. Astrophys. 88, 1

Masson, C.R. 1986, Astrophys. J. 302, L27

Milne, D.K. 1982, Monthly Notices Roy. Astron. Soc. 200, 51P

Paczynski, B. 1971, Acta, Astron. 21, 417

Pottasch, S.R.; Goss, W.M.; Arnal, E.M.; Gathier, R. 1982. Astron. Astrophys. 106, 229

#### NOTICIAS DA DIRETORIA

#### ATA DA DECIMA TERCEIRA ASSEMBLEIA GERAL ORDINĂRIA DA SOCIEDADE ASTRO NÔMICA BRASILEIRA

Aos doze dias do mês de julho de mil novecentos e oitenta e seis. às dez horas e trinta minutos, na sala 107 do Instituto de Fisica Universidade Federal de Minas Gerais, Belo Horizonte, MG, teve 1n7 cio a Decima Terceira Assembleia Geral Ordinaria da Sociedade Astro nomica Brasileira (SAB). Compuseram a mesa diretora os seguintes mem bros presentes da Diretoria: Carlos Alberto Torres. Secretario-Ge ral, que presidiu os trabalhos na ausência do Presidente e Vice-Pre sidente, Augusto Damineli Neto, Secretário, que secretariou a presen te Assembléia em substituição ao Secretário-Geral e Zulema Abraham. Tesoureira, O Presidente propôs a pauta para a As sembleia que foi aprovada por todos os socios presentes. A secuir, o Presidente anunciou o primeiro item da pauta: "Leitura e aprovação da Ata da 12ª Assembleia Geral Ordinaria". O Presidente sugeriu que a leitura fosse omitida uma vez que a mesma foi publicada no Boletim da SAB. Ano 7, nº 3, nas paginas 25 a 30. Todos os presentes acelta ram a sugestão. O Presidente colocou em votação a Ata que foi aprova da por unanimidade. Em seguida, o Presidente passou ao segundo "Item da pauta: "Relatorio da Diretoria". Inicialmente, o Presidente da me sa leu o relatório enviado por Roberto Vieira Martins, Presidente da SAB, Nesse relatório, o sócio Roberto Vieira Martins comunicou que a SAB manifestou-se junto a Sociedade Brasileira para o Progresso da Ciência (SBPC), em apoio a documentação enviada as autoridades gover namentais e ao candidato a Presidência da República. reivindicando uma política serta e coerente. A SAB indicou também tres nomes para representar a Astronomia na Superintendência de Desenvolvimento Cien tífico do CNPq e três nomes de pesquisadores para formarem uma Comis são junto ao Ministério da Ciência e Tecnologia para propor modifica cões no CCTC. Quanto a organização de congressos, a SAB colaborou com a realização da IV Reunião Regional Latinoamericana de Astrono mia, solicitando e recebendo recursos no valor de Cr\$10,000,000, que foi solicitado pela diretoria anterior. Para a realização da atual reunião, a SAB solicitou ao CNPq um auxilio no valor de Cr\$27,000,000 e que até o momento não havia tido nenhuma resposta concreta quanto

a concessão de auxílio. Com relação a entidades internacionais. Sociedade tem participado ativamente na comissão para a organização de uma associação latinoamericana de Astronomia. Em seguida, o socio Jorge Ramiro de la Reza comunicou que, quando membro da diretoria da SAB, solicitou e recebeu auxílio da FINEP, no valor de Crs... 10.000.000.00. destinado a organização da IV Reunião Latinoamericana de Astronomia e que foi devolvido aquela financiadora, o montante de Cr\$ 7.174,00. Em seguida, o Presidente passou a palayra a Tesoureira Zulema Abraham para que apresentasse o relatôrio financeiro. O saldo na Reunião Anual anterior era de Cr\$ 572.000,00. Foram Cr\$ 3.560.500,00 (Cr\$ 2.126.300.00 referentes a anuidades de socios e Cr\$ 1.434.200,00 referentes a assinaturas do Boletim). Os gastos foram de Cr\$ 2.757.500.00 e o saldo atual ë de Cr\$ 1.375.000,00. A Tesoureira propos, em seguida, o prazo de até 30/09/85 para pagamen to das anuidades atrasadas e a partir desta data o valor das anuida des passariam a ser em ORTN's (duas ORTN's para socios efetivos e uma ORTN para socios aspirantes). O socio Luiz B.F. Clauzet propôs que não se fixasse prazos para pagamento de anuidades em débito, o que sería uma medida antipática e que se conversasse com esses socios pedindo compreensão para o problema. Propos ainda duas ORTN's para sócios efetivos e uma para sócios aspirantes. O Pre sidente colocou as propostas em votação, sendo aprovada a segunda proposta. Em seguida, o Presidente anunciou o terceiro item da pau ta: "Admissão de novos sócios". A Comissão de Admissões (Carlos Al berto Torres, Ivo C. Busko e Francisco J. Jablonski) recomendou candidatos Maria de Fâtima Saraiva Schroder e Francisco Xavier Araŭjo para socios efetivos e os candidatos Claudio Miguel Bevilaqua Alex Andre Schmidt, Roberto Dell'Aglio Dias da Costa, Charles Bona tto. Ricardo Reis Cordeiro. Peter Leroy Faria e Orlando Pinheiro da Fonseca Rodrigues para socios aspirantes. A Comissão de Admissões re comendou a não aceitação do candidato Renato de Alencar Dupke com o parecer "O postulante não satisfaz o artigo 50 do Estatuto". O Presi dente colocou as recomendações em votação e foram aprovadas por una nimidade. O Presidente, em seguida, passou ao quarto item da pauta: "Mudança de categoria dos sõcios". Foi apresentada uma lista com os nomes dos sócios José Roberto de Castro Andrade, Joaquim Eduardo Re zende Costa, Marcus Vinicius Fontana Copetti, José Williams dos San tos Vilas Boas e Claudio Eichi Tateyama, uma vez que os mesmos ti nham obtido o título de Mestre. Foi posto em votação os cinco nomes, tomados em bloco, e aprovado unanimemente. A seguir, o Presidente passou ao quinto îtem da pauta: "Local da prôxima Reunião Anual da da SAB". O Secretário Augusto Damineli Neto comunicou que a próxima

reunião da SBPC deverã se realizar em Curitiba, PR. em julho do proximo ano. Apos discussões, os socios presentes decidiram fazer a pro xima Reunião Anual da SAB em conjunto com a SBPC, O Presidente. em seguida, passou ao sexto Ttem da pauta: "Carta da CBA". O Presidente leu carta enviada pela Comissão Brasileira de Astronomia (CBA) à SAB sugerindo consulta dentre os socios e não-socios da Sociedade. uma lista de dez nomes, para recomendação ao CNPq, de cinco nomes pa ra comporem a Comissão Brasileira de Astronomia. O socio Pierre Kauf mann sugeriu recusar o envio de nomes pela Sociedade sempre que não houvesse tempo hábil para consulta aos sócios. A posição do Pierre Kaufmann foi endossada pela majoria da Assembleja. O Presiden te. em seguida, sugeriu indicação de nomes para representar a SAB na reunião das Sociedades Científicas que dever-se-ja realizar próximo dia 15/07. Após debates, os sócios Pierre Kaufmann e Luiz B. F. Clauzet, propuseram que em caso de necessidades de se formar co missões em ültimo instante, os membros da Diretoria deveriam ser os representantes da Sociedade. Como não houve consenso entre os presen tes, o Presidente sugeriu os nomes dos socios Luiz Paulo Ribetro Vaz e Rodrigo Dias Tarsia para representarem a Sociedade naquela reunião. A sugestão foi aceita pela majoria da Assembléja. A seguir. o Presi dente passou a palavra ao socio Pierre Kaufmann que comunicou que o CNPq não tinha pago a anuidade da IAU e que os representantes brasi leiros na reunião de 1985 não teriam direito a voto e a propor novos socios. O socio Pierre Kaufmann, em seguida, sugeriu a seguinte mo cão, que foi encaminhada a Assembléia da SBPC: "1. Reiterar ao CNPo e ao Ministério da Ciência e Tecnologia em manter e honrar sua res ponsabilidade de orgão nacional aderente, representado pela CBA, pa gando a quota nacional de contribuição à IAU para 84/85 e resquardan do os interesses científicos maiores da comunidade astronômica brasi leira no mais importante foro internacional desta area de pesquisa, 2. Chamar a atenção de que a mesma preocupação pela responsaibilidade deve existir com relação a outras uniões científicas as quais o Brasil aderiu, tendo o CNPq como representante, como é caso de áreas multidisciplinares abrangidas pela COSPAR (Ciência Espacial), URSI (Rădio-Ciencia) e SCAR (Ciencia na Antartica), e que tem acentuado relacionamento com a IAU (Astronomia)\*. O Presidente colocou a mocão em votação e foi aprovada por unanimidade. A seguir, o Presidente a nunciou o sexto îtem da pauta: "Indicação de nomes para comporem a Comissão para implantação de uma Sociedade Latinoamericana de Astro nomia". Após discussões, a Assembléia decidiu formar uma comissão de socios para analisar e relatar todo o processo ja existente sentido. Foram indicados para esse fim, os nomes de Luiz B.F. Clauzet. Pierre Kaufmann, Paulo Marques dos Santos e Sylvio Ferraz Mello. A Assembleia foi encerrada as treze horas e trinta minutos. Para constar, lavrei a presente Ata que vai por mim datada e assinada. Belo Horizonte, 12 de julho de 1985.



ASSEMBLETA GERAL EXTRAORDINARIA DA SOCIDADE ASTRONÔMICA BRASILETRA. Ata. Aos doze dias do mês de julho de mil novecentos e oitenta ecin co. as 09:40 horas, a Sociedade Astronômica Brasileira reuniu-se, ex traordinariamente. Carlos Alberto Torres, presidiu a reunião no im pedimento do Presidente Roberto Vieira Martins e da Vice - Presidente Mirlani Griselda Pastoriza. O Presidente esclarece que a reunião foi convocada pela Diretoría, para mudanca no artigo 10. e seu paragra fo ûnico, ou seja, a supressão do paragrafo único do artigo acima re ferido. Lembra o Presidente que cinquenta e três socios efetivos es tavam quites com a Sociedade. Portanto, o quorum seria de vinte e se te socios, favoraveis à mudança. Foi feita a contagem dos votos obteve-se o sequinte resultado: vinte votos favoraveis, sete votos contrários, sete votos nulos e um voto em branco. Em consequência do resultado, a mudança do artigo 10 e seu paragrafo único do Estatuto não foi aprovada. Eu, Augusto Damineli Neto, Secretario da Socieda de. lavrei esta ata em doze de Julho de 1985.



AREA: MEIO INTERESTELAR

EXTINÇÃO VISUAL DAS NUVENS ESCURAS DE CHAMAELEON E MUSCA. Jacques R.D. Lépine e Jane C.G. Hetem (Instituto Astronómico e Geoffsico - USP)

Realizamos em nosso trabalho, um estudo detalhado de algumas nuvens escuras com alto grau de opacidade localizadas na região de Chamaeleon e Musca, posições privilegiadas por encontrarem-se bem abaixo do plano galãtico (bm  $\cong$  150) e completamente isoladas de outras. Para essas regiões apresentamos mapas de extinção visual, obtidos através de contagens de estrelas: extensão, massa e distância das nuvens; anālise dos dados do Catálogo IRAS, determinando temperaturas e índices de cor das fontes in fra-vermelhadas associadas as nuvens.

PROPRIEDADES CINEMÁTICAS DE NEBULOSAS PLANETÁRIAS DE TIPO II. <u>Walter J. Maciel</u> (Instituto Astronômico e Geofísico - USP)

As nebulosas planetárias da nossa galáxia podem ser classificadas em qua tro tipos, segundo os critérios propostos por M. Peimbert e colaborado res. As nebulosas de tipo I são ricas em He e N; as de tipo II são obje tos intermediários, com orbitas aproximadamente circulares em torno do centro galático; as de tipo III são objetos de alta velocidade, e as de tipo IV são planetárias do halo. As nebulosas de tipo II apresentam um gradiente galático de temperatura eletrônica e gradientes de abundância de elementos pesados como o He, O, e S, de acordo com trabalhos recentes de W.J. Maciel e M. Faundez-Abans. No presente trabalho, são considera das as propriedades cinemáticas destes objetos, com o objetivo de tornar quantitativa a comparação entre estas propriedades e aquelas de objetos do disco, como as regiões HII. Verifica-se que as velocidades peculiares dos objetos de tipo II diferem em media menos de 30 km/s dos valores es perados para os objetos do disco, e que as velocidades de rotação obtT das para as planetarias diferem geralmente menos de 20% da curva de rota ção media da Galaxía, obtida a partir de observações de CO.

GRÃOS E O GRADIENTE DE TEMPERATURA ELETRÔNICA DE REGIÕES HII. S. Olivei ra e Walter J. Maciel (Instituto Astronômico e Geoffsico - USP)

Diversos trabalhos recentes confirmam a existência de um gradiente de temperatura eletrônica de regiões HII galâticas, encontrando-se tempera turas mais elevadas em regiões HII mais afastadas do centro galático. Em bora varios fatores possam causar alterações nas temperaturas medidas. acredita-se que o principal responsável ê um progressivo aumento na abun dância de elementos pesados em direção ao centro galático, considerando que estes elementos são os principais agentes resfriadores em nebulosas ionizadas. No presente trabalho, redeterminou-se o gradiente de tempera tura eletrônica utilizando valores publicados da temperatura, a partir das linhas H66α, H76α, H86α, H109α, H120α. A curva de rotação usada coin cide com a curva tradicional para a região interna ao circulo solar < 10 kpc), adotando-se para as regiões internas a curva obtida a partir de observações do CO, a qual apresenta uma pequena ele vação até R № 16 kpc. Posteriormente, considerou-se o efeito dos grãos imersos nas nebulosas, os quais podem sofrer o mecanismo de aquecimento fotoelétrico apos a absorção de fotons estelares e do campo de radiação difuso. Como resultado, verifica-se que os gradientes obtidos não dife rem significativamente daqueles calculados com a curva de rotação galátT ca de Schimidt. Alêm disso, mostra-se que a contribuição dos grãos é <u>pe</u> quena, reforçando a hipôtese dos elementos pesados serem os <u>principais</u> causadores dos gradientes de temperatura eletrônica observados.

OBSERVAÇÕES DE MASERS COM MULTICANAIS ACUSTO — ÕPTICO, ANĀLISE E TRATA MENTO DOS DADOS. José Luiz Monteiro do Vale, José Williams dos Santos Vilas Boas e Eugenio Scalise Junior (Instituto de Pesquisas Espaciais ~ INPE)

Durante a fase de testes finais do espectrômetro acusto optico foram ob servados cerca de 80 masers de vapor d'agua. Estes masers ja haviam sido observados anteriormente no Radio Observatorio do Itapetinga, Atibaia, e em Parkes, Australia. Essas novas observações tiveram por finalidade: ob ter um catalogo de masers do hemisfério com todos objetos observados nu ma mesma época com uma dada resolução espectral; identificar estrutura de alta velocidade nos masers e verificar como se modifica sua estrutura geral. São apresentados os resultados obtidos e discutidos os efeitos quando utilizamos filtros no tratamento dos dados (FINEP, CRAAM: Convēnio Univ. Mackenzie).

MODELOS TEÖRICOS DE LINHAS DE RECOMBINAÇÃO EM RADIOFREQUÊNCIA PARA RE GIÕES HII. Ana Cristina de Oliveira Cancoro e Zulema Abraham (Instituto de Pesquisas Espaciais - INPE)

Foram feitos modelos de linhas de recombinação provenientes de regiões HII nas frequências de radio para distintos números quanticos. Estes mo delos consideram regiões HII esfericamente simétricas com variações radiais na densidade e temperatura eletrônica, efeitos de colisões inelasticas dos eletrons (alargamento por pressão), e afastamento do equilíbrio termodinâmico local. O objetivo é construir o perfil da linha para cada ponto da nuvem e obter o valor medio resultante da sua convolução com o feixe da antena de tamanho comparavel com o tamanho angular da nuvem pa ra posterior comparação com observações (FINEP, CRAAM: Convênio Univ. Mackenzie).

ENRIQUECIMENTO METALICO NA ASSOCIAÇÃO DE ORION OB1. Katia Cunha e Ramiro de la Reza (Departamento de Astronomia, CNPq-Observatorio Nacional)

Investigamos a possibilidade da existêntia de gradientes de abundância dos metais Mg, Al, O, Si e Fe nos 4 sub-grupos de diferentes idades da associação de Orion Obl. Tais gradientes seriam decorrentes da explosão de sucessivas SN ocorridas nestes sub-grupos. Fizemos determinações de abundância para aproximadamente 30 estrelas OB pertencentes aos sub-grupos, utilizando espectros em alta resolução ultravioleta obtidos com o satélite IUE. Nossas análises foram feitas com linhas fotosféricas e in terestelares. Nossos resultados parecem indicar um enriquecimento progressivo dos grupos mais velhos para os mais jovens.

EXTINÇÕES VISUAIS EM NUVENS ESCURAS AUSTRAIS. Gilberto Carlos Sanzovo (Departamento de Física da Universidade Estadual de Londrina) e Maria Alcina Braz (Instituto Astronômico e Geofísico - USP)

Nuvens escuras são regiões relativamente frias ( $T_K \sim 10~K$ ), constituidas essenciálmente de hidrogênio molecular e grãos de pō, que absorvem e es palham a radiação estelar indidente, produzindo a extinção. Neste trabalho, o método de contagens de estrelas desenvolvido por Dickmann (1978a) foi aplicado a 5 nuvens escuras do Hemisfério Celeste Sul, localizadas em Carina, Circinos, Saco de Carvão, Vela e Norma, com o intuito de de terminar sua extinção visual, Ay. Elas foram reconhecidas por inspeção visual nas placas azuis B e J e vermelhas R do Observatorio Sul Europeu (ESO) e as contagens (resolução de 2;25) foram feitas em 2 campos distintos, a saber: o campo da nuvem e o campo de comparação, livre de obscure cimento. Os resultados decorrentes da aplicação do método são mostrados na forma de matrizes extinções. Para algumas regiões mais obscurecidas foram traçadas curvas de iso-extinções visuais. 5 glõbulos foram reconhecidos por apresentarem dimensões variando entre 0,2 a 0,4 pc e grau de obscurecimento ( $A_V > 3,3$  mag) (CAPES).

METALICIDADE DE AGLOMERADOS ABERTOS É O GRADIENTE DE ABUNDÂNCIA DA GALÁ XIA. Roberto Dell'Aglio Dias da Costa, Miriani Griselda Pastoriza e Jorge Ricardo Ducati (Departamento de Astronomia do Instituto de Física da Universidade Federal do Rio Grande do Sul).

A partir dos resultados obtidos por fotometria fotoelétrica BV-D00 de estrelas vermelhas dos aglomerados abertos NGC 2516, NGC 3766 e NGC 5460 (R.D.D. Costa, M.G. Pastoriza, J.R. Ducati-SAB, 1985), foram calculadas as abundâncias metālicas Fe/H destas estrelas e os valores mêdios para cada aglomerado. Foram calculados as suas distâncias galactocêntricas R e, com elas, os aglomerados foram incluídos no gradiente de abundância con tra R de Janes (1979). Nota-se daí a deficiência metālica de NGC 2516 e NGC 3766 que estão no limite inferior do conjunto de pontos que define o gradiente. Foram também incluídos na anālise pontos referentes a outros aglomerados obtidos com o mesmo equipamento em que este trabalho foi realizado (CNPq, CAPES, FINEP).

AREA: ASTRONOMIA EXTRAGALATICA E COSMOLOGIA

DECREMENTO DE BALMER EM OBJETOS EXTRAGALÂTICOS ATIVOS. A.A. de Andrade, S.M. Viegas-Aldrovandi e R.B. Gruenwald (Instituto Astronomico e Geofisi co - USP)

Observações espectroscópicas de objetos extragaláticos ativos (NAG) apre sentam geralmente valores do decremento de Balmer (Hα/Hβ) bem maiores que o dado pela teoria de recombinação. Para a componente estreita das raias de Balmer é geralmente aceito que este resultado seja simplesmente devido a um efeito de avermelhamento por grãos de poeira internos ou ex ternos ao gás emissor. Nota-se também que entre radiogaláxias de linhas largas e galáxias de Seyfert tipo l ou entre radiogaláxias de linhas es treitas e galáxias de Seyfert tipo 2, que são objetos espectroscopicamen te semelhantes, as primeiras geralmente apresentam valores de decremento de Balmer maiores que as segundas, sugerindo que além dos processos nor malmente considerados, deve haver algum mecanismo, talvez relacionado com a emissão rádio, que aumenta a razão de intensidade Hα/Hβ. Analisa mos o efeito provocado pela incidência de um fluxo de elétrons relativis ticos sobre a nuvem emissora de linhas estreitas do NAG e os resultados

mostraram que esse mecanismo pode explicar a diferença entre os decrementos de Balmer nesses objetos (FAPESP, CNPq e CAPES).

INCLINAÇÃO E OBSCURECIMENTO EM GALÃXIAS DE SEYFERT. S.D. Kirhakos (Instituto Astronômico e Geoffsico - USP) e J.E. Steiner (Instituto de Pesquisas Espaciais - INPE)

O estudo realizado mostra que a seleção őptica das galãxías de Seyfert ē fortemente afetada pelo efeito de inclinação da galãxía, havendo uma es cassez de Seyferts aproximadamente "edge-on" em relação as galãxías de disco do campo. A lei de avermelhamento foi estimada apartir do contínuo e das linhas de emissão e o obscurecimento assim derivado ē da ordem de 5 a 10 vezes maior que o do disco da nossa Galãxia. De acordo com os resultados obtidos, o decremento de Balmer das SI ē normal para asgalãxias "face-on", enquanto que nas S2, mesmo nessas condições, jã existe uma extinção apreciável. Apresentamos evidências de que o obscurecimento de ve ocorrer na região emissora de linhas estreitas (NLR) e não na região emissora de linhas largas (BLR), como sugerido em trabalhos anteriores.

ACELERAÇÃO DE PARTÍCULAS E GERAÇÃO DE CORRENTES EM JATOS EXTRAGALÃTICOS: UMA ALTÉRNATIVA ATRAENTE. L.C. Jafelice e R. Opher (Instituto Astronomico e Geofísico - USP)

Discutimos a aceleração de partículas e a geração de correntes elétricas alinhadas com o campo magnético por ondas Alfvén cinéticas (OAC) é fazemos uma aplicação para o caso de jatos extragaláticos. Mostramos que para parâmetros típicos de jatos as OAC podem produzir diferenças de potencial de até 109 volts que se propagam paralelamente ao campo magnétíco. Sugerimos que esse processo é a fonte da reaceleração de elétrons, ne cessária em jatos. Mostramos também que as correntes geradas por OAC podem ser comparáveis aquelas sugeridas como necessárias para a colimação desses jatos (i.e. até 1018 Å). Embora os processos tratados aqui se jam aplicados a jatos extragaláticos, provavelmente eles são importantes em muitas situações astrofísicas.

ATENUAÇÃO DE FLUTUAÇÕES ISOTERMICAS DURANTE A EPOCA DE RECOMBINAÇÃO. J. C.N. de Araújo e R. Opher (Instituto Astronomico e Geofísico - USP)

A atenuação de perturbações isotérmicas, dúrante a apoca de recombinação, para massas menores que a massa de Jeans (M<sub>J</sub>) foi calculada para universos plano e aberto, e para perturbações lineares e não lineares, a atenuação e maior para o universo aberto. A perturbação residual não vai a zero. Por exemplo, para M/M<sub>J</sub> = 0.001 (universo plano) a perturbação residual, no fim da recombinação, é maior de 10% da perturbação inicial.

INSTABILIDADES TERMICAS MHO EM RADIO-FONTES EXTRAGALATICAS. E.M. de Gouveia Dal Pino e R. Opher (Instituto Astronómico e Geofísico -USP)

A estabilidade de rãdio-fontes extragaláticas sujeitas a instabilidades têrmicas magneto-hidrodinâmicas (MHD) é investigada. Examina-se a possi bilidade de que as estruturas filamentares observadas em jatos elobos de algumas rādio-fontes tenham-se formado em consequência de uma instabilidade têrmica no fluído magnetizado e quente que compõe essas fontes. A instabilidade é governada por perdas sincrotronicas do gãs de elêtrons relativísticos. Tais perdas são, no estado inicial não perturbado do plasma, equilibradas por processos de ganho de energia cujas taxas são assumidas independentes das variâveis físicas do sistema. O campo magnetico é assumido estar congelado com o plasma e seu fluxo é admitido con servado. Efetua-se uma análise linear da estabilidade e verifica-se que para uma extensa margem de valores plausíveis para os parâmetros físicos ha ocorrência de instabilidade termica.

MECANISMOS DE CONFINAMENTO EM RADIO-FONTES EXTRAGALATICAS. Joel Carvalho (Centro de Ciencias Exatas - Universidade Federal do Rio Grande do Norte)

Estuda-se os limites observacionais sobre os vários mecanismos de confinamento de radio-fontes. Expressões gerais para a máxima densidade de fluxo são obtidas como uma função do tamanho angular da fonte, conside rando-se absorção térmica, emissão de raios-X e efeito Faraday. Os calculos numéricos e a comparação com uma grande amostra de fontes mostra que o mecanismo mais eficiente em fontes extensas é o de pressão "ram". A analise também mostra que este mesmo mecanismo não deve funcionar namaio ría das fontes compactas onde densidades extremamente altas são necessa rias.

UM MODELO PARA RADIO-FONTES DUPLAS COMPACTAS. Joel Carvalho (Centro de Ciências Exatas - Universidade Federal do Rio Grande do Norte)

Calculam-se as propriedades físicas de fontes compactas mapeadas por VLBI que apresentam uma estrutura dupla simétrica e compara-se com aquelas de fontes duplas extensas. Um modelo de evolução é estudado que parece con firmar sugestões de que as fontes duplas compactas são os progenitores das fontes extensas.

OISTRIBUIÇÃO DO ÎNDICE ESPECTRAL EM RÃOIO-FONTES EXTENSAS EXTRAGALÂTICAS. Joel Carvalho (Centro de Ciências Exatas - Universidade Federal do Río Grande do Norte)

Discute-se a importância dos processos dinâmicos em rádio-fontes duplas extensas no que diz respeito à distribuição do Índice espectral. A equação de continuidade para os elétrons relativisticos é solucionada dentro do modelo de feixe, levando-se em conta a difusão de partículas, perdas de energia por radiação, efeito compton inverso e expansão adiabática, bem como aceleração "in situ". A distribuição do Índice espectral é calculada e mostra-se que sua variação se torna pequena ao longo da fonte com a introdução de difusão e reaceleração. Discute-se também como estes processos afetam a determinação da idade da fonte.

RESUMO DAS COMUNICAÇÕES APRESENTADAS NA XIII REUNIÃO ANUAL DA S.A.B.

AREA: SISTEMA SOLAR

CARBON & NITROGEN ATOMS DERIVED FROM PHOTODISSOCIATION OF CN AND C2 IN COMETS. P.D. Singh e A.A. de Almeida (Instituto Astronómico e Geofísico - USP)

Absorption of solar photons of wavelength range 83-118 nm leads to dissociation of CN in comets and is a source of CI (1561 A) and CI (1657 A) found in the spectra of comets. At  $r_h \approx 1$  AU, the lifetime of CN varies between 2.8 105 s and 2.5 105 s for solar minimum and solar maximum, respectively. Photodissociation of CN by solar photons and dissociative electron recombination of Nz with electrons may be sources of NI (200) and NI (200) atoms in comets. Emission at 1493 A due to NI (2p  $^{\circ}$  D0) may be excited by resonance fluorescence mechanism if  $r_h \leq 0.25$  AU. Photodissociation of C2 by solar photons may lead a velocity distribution of about 4-6 km s-1 to each carbon atom and is a source of CI (10) atoms found in comets (Work supported by CNPq under contract nos. 403554/84 and 304076/77).

AQUECIMENTO PRECURSOR EM FRENTE O ARCO DE CHOQUE DA TERRA. R. Opher e G.A. Pessotto (Instituto Astronomico e Geofísico - USP)

Estudamos o aquecímento do meio pre-choque pelos protons e pelas ondas criadas por esses protons acelerados. Os protons estão sendo acelerados pelo choque atraves do mecanismo da primeira ordem de Fermi. Encontramos que os protons estão depositando mais energia do que aquela que estã sendo perdida por Bremstrahlung.

DISTRIBUIÇÃO DO ÎNDICE ESPECTRAL RELATIVO SOBRE O DISCO SOLAR A PARTIR DE RADIO IMAGENS EM 22 e 44 GHz. José Luiz Homor, Joaquim Eduardo Rezen de Costa e Pierre Kaufmann (Instituto de Pesquisas Espaciais - INPE)

Durante o período de máximo do último ciclo solar (21º ciclo), foram obtidas radioímagens do Sol, nas frequências de 22 e 44 GHz, no Rádio Observatório do Itapetinga (INPE). Estas imagens foram obtidas simultaneã mente em 6 minutos de tempo. As resoluções angulares em 22 e 44 GHz foram, respectivamente, 4.2 e 2.0 minutos de arco. Estas determinações são ineditas. Alguns resultados preliminares são apresentados, com enfase às regiões ativas (FAPESP, CRAAM: Convênio Univ. Mackenzie).

ASSOCIAÇÕES DE EMISSÕES DE EXPLOSÕES SOLARES EM  $\lambda$ -M e  $\lambda$ -MM. Hanumant Shankar Sawant, Rute Helena Trevisan, Joaquim Eduardo Rezende Costa e Pierre Kaufmann (Instituto de Pesquisas Espaciais - INPE), P. Zlobec e M. Messerotti (Observatório Astronômico, Trieste, Itālia)

Observações de explosões solares obtidas nos Observatórios do Itapetinga (Atibaia, SP) e Trieste (Itália) em ondas  $\lambda$ -mm (22 GHz) e  $\lambda$ -m (200 - 400 MHz), respectivamente, mostraram associações de estruturas temporais da ordem de 200 mseg. Apresenta-se um estudo estatístico das diferenças nos tempos de pico de emissão destas estruturas nas duas regiões do espectro. É apresentado, no caso da explosão solar de 22 de novembro de 1982, uma reversão do sentido de atraso dos picos da emissão  $\lambda$ -m com relação à  $\lambda$ -m no instante do surgimento da emissão da mais alta frequência métrica

(408 MHz). Tais evidências observacionais são discutidas no contexto da física de aceleração de partículas associadas (FINEP, CRAAM: Convênio Univ. Mackenzie).

ANĀLISE DAS TAXAS DE REPETIÇÃO DOS PULSOS RĂPIDOS OBSERVADOS EM EXPLOSÕES SOLARES EM ONDAS MILIMETRICAS E RAIOS-X DUROS. Emilia Correia e Pierre Kaufmann (Instituto de Pesquisas Espaciais - INPE)

O perfil temporal da emissão de uma explosão solar 90 GHz, quando analisado com a mesma resolução temporal dos dados de emissão em raios-X du ros (128 ms), apresentou excelente correlação. Portanto pode-se considêrar que estas emissões tenham sido produzidas pela mesma população de elétrons energéticos. Utilizando-se as taxas de repetição dos pulsos rápidos, identificados na emissão de 90 GHz, num total de 46 pulsos emisete estruturas, os diagramas de espalhamento destas taxas com os fluxos (90 GHz, raios-X, £ > keV) ê indice espectral em raios-X, apresentaram otima correlação linear entre taxa de repetição e fluxo em 90 GHz e para raios-X verificou-se que quanto mais duro o espectro em rabos-X maior era a taxa de repetição associada. Estes resultados confirmam a idéia de qua si-quantização da energia liberada nos pulsos de sub-segundos, e sugerem uma relação empirica entre fluxos em ondas mm e em raios-X duros, paramé trica no indice espectral dos raios-X (FINEP, CRAAM: Convênio Univ. Mãckenzie).

A POSIÇÃO DO RADIANTE DA TEMPESTADE DE METEOROIDES DE JUNHO DE 1975 E TAXAS DE IONIZAÇÃO PRODUZIDAS NA BAIXA IONOSFERA. Pierre Kaufmann, Vera Lucia Requia Kuntz, Neusa Maria Paes Leme, Liliana Kizzo Piazza e Jose Williams dos Santos Vilas Boas (Instituto de Pesquisas Espaciais - INPE)

A excepcional tempestade de meteoros de junho de 1975, detetada por sis mógrafos Apollo instalados na Lua, produziu profundos efeitos na alta atmosfera terrestre, detetados por anomalias de propagação de ondas VLF. Uma análise cuidadosa dos dados permitiu constatar uma significativa re dução nas taxas de recombinação ao anoitecer, apenas, indicando a presem ça de uma fonte-extra de ionização causada pelos impactos de meteoros, até pelo menos 1-2 horas após o por do Sol, implicando numa ascensão re ta para o radiante de 100 a 120 graus. Por outro lado, a consideração nos trechos de trajetos de propagação situados no hemisfério sul, dados obti dos apenas no hemisfério sul, nos levam a sugerir uma declinação sul oraciante. Como não existe nenhum radiante de chuvas conhecidas de meteoros naquela direção, é provável que o evento de junho de 1975 tenha sido esporadico. A recente teoria do "Canterbury Swarm", que associa o evento de junho de 1975 aos restos de uma antiga fragmentação do cometa Encke, fica prejudicada com a posição do radiante sugerida pelas pesqui sas presentes (FINEP, CNPq, FAPESP, CRAAM: Convênio Univ. Mackenzie).

ATIVIDADE SOLAR EXPLOSIVA EM ONDAS DECIMETRICAS (1.6 GHz) DE BAIXO NT VEL. Hanumant Shankar Sawant, Joaquim Eduardo Rezende Costa, Rute Hele na Trevisan e Pierre Kaufmann (Instituto de Pesquisas Espaciais - INPE)

É discutida uma série de explosões em 1.6 GHz, obtidas pelo Rádio Obser vatório do Itapetinga no mês de julho de 1985. As observações foram feT tas com alta resolução e sensibilidade inédita. Duas classes de fenôme nos explosivos foram observados: uma com explosões cujo tempo de início

são da ordem de alguns milisegundos, e a outra de dezenas de milisegundos. A maioria destes eventos apresentaram temperaturas de brilho inferiores à 1010 K (supondo a velocidade da luz como límite de velocidade). E sugerido o espalhamento induzido como mecanismo de geração destas explosões do tipo "spike". Alguns períodos de atividades com durações maio res que l segundo sugerem explosões do tipo homõlogos (FINEP, CRAAM: Convênto Univ. Mackenzie).

RĂDIO IMAGEM SOLAR COM ALTO DETALHAMENTO ESPACIAL. José Luiz Homor, Joa quim Eduardo Rezende Costa, José Williams dos Santos Vilas Boas e Pierre Kaufmann (Instituto de Pesquisas Espaciais - INPE)

Imagem solar foi obtida com amostragem de temperatura de antena em inter valos angulares inferiores à metade da largura à meia potencia do lobo principal da antena (menores que o intervalo de Nyquist). Tal imagem foi obtida com radiometro solar de alta sensibilidade e com alto detalhamen to espacial da antena de 13.7 m de diametro do Rádio Observatorio do Itá petinga em 22 GHz. Através desta rádio imagem, evidencia-se uma melhoria do contraste das nuanças de brilho associadas às regiões quiescentes so lares presentes na ocasião da obtenção do mapa (FAPESP, CRAAM: Convênio Univ. Mackenzie).

VARIAÇÕES TEMPORAIS RĂPIDAS NOS FLUXOS E ESPECTROS DE UMA EXPLOSÃO SO LAR, OBSERVADAS EM COMPRIMENTOS DE ONDA DM-MM E EM RAIOS-X DUROS. And Maria Zodi Vaz, Pierre Kaufmann, Emīlia Correia, Joaquim Eduardo Rezen de Costa (Instituto de Pesquisas Espaciais - INPE), E.W. Cliver (Air Force Astrophysical Laboratory), T. Takakura (Dep. of Astronomy, Faculty of Science, Univ. of Tokyo) e K.F. Tapping (Herzberg Institute of Astrophysics, National Research Council)

A explosão solar de 4 de novembro de 1981, ãs 18:28 UT, foi observada com alta sensibilidade e resolução temporal em comprimentos de ondas cmmm por dois rãdio-observatórios (Itapetinga e Algonquin); com alta resolução temporal espectral em comprimentos de onda dm-cm por rãdio-telesco pios de patrulhamento (Sagamore kill); e em raios-X duros (HXM-Hinotori). No início da fase principal da explosão, ocorreu um rãpido aumento na frequência de pico do espectro em rãdio (de 5 para 15 GHz), em cerca de 10 s, coincidente com uma redução do índice espectral na parte opticamen te fina do espectro. Os máximos nos perfis temporais não foram coincidentes no tempo. Os perfis nas frequências mais altas de râdio são melhor correlacionados com os canats de maior energia em raios-X duros. O espectro mais duro em raios-X (-3) coincidiu com o pico de emissão na frequência mais alta de râdio (44 GHz). O evento parece ter se constituído de uma primeira injeção de partículas com distribuição de energia mais mo le, seguida por outras injeções com distribuições mais duras. Nos perfis temporais em ondas cm-mm (obtidos com alta sensibilidade) e em raios-X, foram identificadas estruturas de sub-segundo superpostas, com taxas de repetição entre 2.0 e 3.5 Hz (FINEP, CRAAM: Convenio Univ. Mackenzie).

A POSSÍVEL IMPORTÂNCIA DAS PERDAS SINCROTRON/COMPTON PARA EXPLICAR AS EMISSÕES RĂPIDAS EM ONDAS MM E EM RAIOS-X DUROS DE UMA EXPLOSÃO SOLAR. Emilia Correia, Pierre Kaufmann, Joaquim Eduardo Rezende Costa, Ana Maria Zodi Vaz (Instituto de Pesquisas Espaciais) e B.R. Dennis Goddard Space Flight Center)

O evento de 21 de Maio de 1984 apresentou características inéditas em on das mm: espectro de emissão com pico em frequência superior a 90 GHz — e estruturas de 1-2 segundos constituídas por pulsos de poucas dezenas de milisegundos de duração e com amplitude relativa de 50% em 90 GHz. As estruturas em radio apresentaram excelente correlação temporal com as de raios-X duros. Considerando-se estas propriedades verificou-se que os pulsos rapidos poderiam ser produzidos por fontes sincroton compactas cu Jos elétrons ultrarelativísticos seriam produzidos pela fonte acelerado ra primária. O principal mecanismo de perda de energia seria por Compton inverso através de espalhamento com os fótons sincrotron produzidos na propria fonte (Kaufmann et al., 1986). O modelo é aplicado a cada estrutura do evento, implicando numa frequência de pico no espectro sincrotron de ∿ 10 Hz, o que estabelece condições para as quais o modelo é au to-consistente com as observações (FINEP, CRAAM: Convênio Univ. Macken zie).

DISTRIBUIÇÃO DA POLARIZAÇÃO CIRCULAR EM 22 GHz SOBRE O DISCO SOLAR. Jo se Luiz Homor, Joaquim Eduardo Rezende Costa e Pierre Kaufmann (Instituto de Pesquisas Espaciais - INPE)

Radioimagens do disco solar foram feitas no Rādio Observatorio do Itape tinga (INPE), na frequência de 22 GHz, durante o período de máximo do ultimo ciclo solar. Estas imagens foram obtidas em polarizações circula res opostas, simultaneamente em 6 minutos de tempo. A resolução angular foi de 4.2 minutos de arco. São apresentados alguns resultados prelimi nares referentes a distribuição da polarização circular sobre o disco do Sol. Estas determinações, na frequência considerada, são de caráter ine dito, enquanto que no âmbito geral é uma das poucas existentes. Entre as regiões quiescentes presentes e analisadas no disco solar, as radioemis sões mais polarizadas são oriundas das regiões ativas, apresentando grau de polarização circular da ordem de la 2%, com referencia a emissão to tal. Estes graus de polarização são sensivelmente maiores quando computa dos em termos do excesso de emissão das regiões ativas (FAPESP, CRAAM: Convenio Univ. Mackenzie).

FOTGMETRIA RĂPIDA DOS FENŌMENOS MŪTUOS ENTRE OS SATĒLITES DE JŪPITER. Jair Barroso Jr. e Germano R. Quast (Laboratório Nacional de Astrofísi ca) e <u>Francisco J. Jablonski</u> (Instituto de Pesquisas Espaciais - INPE)

Ocultações e eclipses envolvendo mutuamente os satélites galileanos de Júpiter, ocorrem a cada 6 (seis) anos quando a Terra e/ou o Sol se encon tram no plano orbital dos satélites. A fotometria rapida do evento per mite obter indiretamente a posição dos satélites com grande precisão, o que é de interesse tanto do ponto de vista da mecanica celeste em si quanto de um ponto de vista mais pragmático, o de permitir o planejamen to do envio de sondas automáticas ao sistema de Júpiter. Como parte de uma campanha internacional coordenada pelo Bureau des Longitudes relativa ao fenômeno mutuo, realizamos nove observações desses eventos. Nesta apresentação discutimos as técnicas de observação e redução de dados bem como os resultados preliminarmente obtidos.

PROPAGAÇÃO DE SINAIS DE VLF EM DIFERENTES FREQUÊNCIAS NUM TRAJETO TRAN SANTÁRTICO. Aracy Mendes da Costa e Liliana Rizzo Piazza (Instituto de Pesquisas Espaciais - INPE)

São analisados os dados de fase e amplitude de sinais de VLF (frequência muito baixa) obtidas no trajeto de propagação NWC (Norceste da Australia) - S. Paulo (Radio Observatorio Umuarama) no período de Setembro de 1967 a Setembro de 1968 em 4 frequencias distintas: 15,5, 18,0, 19,8 e 22,3 kHz. São apresentadas as variações diurnas médias da fase e da amplitude do sinal para as quatro frequencias nesse período e são calculadas as altu ras de referência diurna e noturna para a reflexão dos sinais de VLF. As condições de propagação do sinal são obtidas por comparação de frequên cias duas a duas em periodos consecutivos (aproximadamente 7 dias para cada frequência). Não foi possívei fazer uma comparação mais ampla devi do à variabilidade sistemàtica da altura do guia de onda terra-ionosfera ao longo do ano produzida pela variação da posição do "terminator" rela tivamente ao trajeto de propagação. Os resultados obtidos, unicos nessã região, mostram pequenas discrepancias quando comparados com a curva ge nêrica de Δφ/ysec vs. frequência apresentada por Reder para diferentes trajetos de propagação de VLF (PROANTAR, CNPg, CRAAM: Convenio Univ. Ma ckenzie).

EFEITOS DE ABSORÇÃO DA CALOTA POLAR (PCA) EM TRANSMISSÃO DE VLF AO LONGO DE TRAJETO TRANSANTÁRTICO. Aracy Mendes da Costa e Liliana Rizzo Piazza (Instituto de Pesquisas Espaciais - INPE)

Os desvios de fase do sinal de VLF propagando-se parcialmente sobre região Antartica são analisados durante eventos PCA no período de Setem bro de 1967 a Dezembro de 1970, de Maio a Dezembro de 1970 e de Maio ja Novembro de 1974. O transmissor, situado na Austrãlia está a uma distân cia de 14.6 Mn do receptor inicialmente situado no Rădio Observatorio de Umuarama (Campos do Jordão, SP) e posteriormente no Rádio Observatório do Itapetinga (Atibaia, SP). O trajeto de propagação atinge uma latitude geomagnética máxima de ~ 7005, estando cerca de 1/3 de seu comprimento total acima dessa latitude, numa região caracterizada pelo parametro . L ⋄ 6. Dos quase 100 eventos mencionados na literatura nesse período, foi possível analisar cerca de 40. Os eventos considerados fortes e medios (∿15) mostraram uma boa correlação entre o avanço de fase total relati vamente ao período calmo e a distribuição temporal do fluxo de protons para E > 100 MeV medido por satělite. Ós eventos fracos ou muito fracos provavelmente estão associados a um fluxo de protons de energias mais baixas que 10 MeV ou à incidencia direta de particulas em regiões latitudes geomagnéticas mais altas. Foram estudados também períodos de alta atividade magnética associados ou não a PCA e se verificou uma gran de sensibilidade do sinal de VLF a esse tipo de perturbação do campo mag nětico terrestre (PROANTAR, CNPq, CRAAM: Convenio Univ. Mackenzie).

AREA: ASTROMETRIA E MECANICA CELESTE

EFEITO DA EMISSÃO TERMICA ANISOTROPICA NA ÓRBITA DE SATÉLITES ARTIFI CIAIS. <u>Germano B. Afonso</u> (Departamento de Física - Universidade FederaT do Parana)

Atraves de observações com laser de precisão tentimetrica, evidenciou-se que o satélite LAGEOS apresentava acelerações periodicas inexplicaveis da ordem de 10-12 km s-2, alem da aceleração secular. Tendo em vista que es sas anomalias periodicas estavam associadas com os eclipses do satélite,

elaboramos um modelo para tentar expliçar o fenômeno, baseado na perturbação devida à emissão termica anisotrópica da superfície do satélite. Essa emissão é um dos efeitos indiretos da interação entre o satélite e a radiação solar para que a distribuição da temperatura de equilíbrio no própio satélite é não-uniforme. Nosso modelo depende, principalmente, da orientação do eixo de rotação do satélite, das posições do Sol e do satélite em relação a Terra. Verificamos que a emissão térmica anisotrópica pode fornecer acelerações periódicas de intensidades e períodos semelhan tes aquelas observadas no satélite LAGEOS e que esse efeito não pode

VARIAÇÃO DAS EXCENTRICIDADES DE URANO. Daniela Lazzaro e Roberto Vieira Martins (Departamento de Astronomia do Observatorio Nacional)

mais ser negligenciado em virtude da precisão das medidas atualmente efe

Foram obtidas as expressões analíticas que definem a variação no tempo das excentricidades e argumentos do pericentro dos cinco maiores satéli tes de Urano. Para isto foi utilizada a teoria clássica de Laplace" Suillart adaptada as particularidades do sistema de Urano. A partir das equações de Lagrande e utilizando-se uma função de perturbação que além das interações mútuas dos satélites considera também o achatamento Urano, obtemos um sistema de equações diferenciais de primeira ordem nãohomogêneo a coeficientes quasi-periódicos. Este sistema foi por meio de um método desenvolvido por V. Brumberg baseado no método de Krarinsky. As expressões obtidas foram então utilizadas para se gráficos da variação dos elementos em estudo num período de 400 anos des de 1750 até 2150. Estes gráficos mostram claramente que a variação das excentricidades e argumentos do pericentro são importantes na análise do movimento dos satélites de Urano e não podem ser desprezados. Em todos os calculos foram utilizados os dados recentemente obtidos pela Voyager-2.

UTILIZAÇÃO DE FILMES ESO PARA DETERMINAÇÃO DE SISTEMA DE REFERÊNCIA. Roberto Vieira Martins, Carlos H. Veiga, Reinaldo R. de Carvalho (Departa mento de Astronomia do Observatorio Nacional)

Cópias em filmes das placas Schmidt do "ESO-B Survey" tem sido utiliza das para a determinação de um sistema equatorial de referências e de po sições de objetos não catalogados. O procedimento utilizado consiste es sencialmente nos seguintes passos: 1. Identifica-se na copia em filme as estrelas de catálogos de referência assim como os objetos cujas posições se deseja determinar. O catálogo de referência utilizado tem sido o Perth 70, que é um catálogo astrométrico. 2. Num sistema de coordenadas arbi trário, faze-se com o auxílio do microdensitômetro, a digitalização das imagens das estrelas de referência e dos objetos a estudar. 3. Determi na-se o centro das imagens, utilizando-se para tanto vários níveis de isodensidade procurando-se minimizar o efeito da "cruz de difração" que aparece nas imagens saturadas das estrelas de referência. 4. Com as po sições medidas e as do catalogo define-se uma transformação polinominaT que expressa os pontos da placa em coordenadas equatoriais como função das posições no referencial arbitrário. 5. As posições desejadas são obtidas com a aplicação do polinômio. Foram feitos testes comparandose resultados provenientes de placas Schmidt com os do filme ESO. Os re síduos em ambos os casos são compatíveis com os erros do catálogo utilí zado, isto e. 0.4 segundos de arco.

OBSERVAÇÕES DOS SATÉLITES DE URANO. <u>Carlos H. Veiga</u>, <u>Daniela Lazzaro</u>, <u>Roberto Vieira Martins</u> (Departamento de Astronomia do Observatorio Nacio nal)

No período compreendido entre 1982 e 1985 foram feitas observações placas fotográficas dos cinco satélites de Urano com o objetivo de deter minar suas posições. Foi utilizado o telescopio de 1.60 metros de aber tura do Laboratório Nacional de Astrofísica/ON cujas características per mitem que se observe este sistema de satélites. A técnica de observação seguida consiste em obter exposições rapidas (4 a 8 minutos) do sistema de satélites de Urano, com um instrumento de longo foco e sem utilizar qualquer tipo de filtro ou mascara para diminuir a luz do planeta. Os me todos de redução utilizadas são os descritos C. Veillet (Del'Observation et du Mouvement des Satellites d'Uranes - Thèse Doctorat-1983). Os resi duos das observações foram obtidos para os parâmetros orbitais de Dunham (1971), Veillet (1983) e Jacobson (1985). Os resultados da redução das placas, dados em relação a Oberon, mostram estarem dentro do valor espe rado para a qualidade das placas utilizados a serem perfeitamente compa tiveis com as medidas existentes de posição dos satélites do sistema de Urano. Os residuos de todas as observações utilizando-se os três conjun tos de elementos orbitais são da ordem de 0"16 e 0"12 para Miranda para os outros tres satélites externos, respectivamente

ANALISE DO MOVIMENTO DE URANO E NETUNO. Rodney da Silva Gomes (Departa mento de Astronomia do Observatório Nacional)

Compararam-se as observações de Urano e Netuno, desde seus descobrimen tos até 1982, com a teoria desenvolvida por P. Bretagnon, tudo reduzido ao sistema FKS. Para cada observação e calculado o residuo (observadocalculado) em longitude e latitude. Para facilitar analise posterior são computados residuos medios por oposição de cada planeta. De posse desse conjunto de residuos, aplica-se o Método dos Minimos Quadrados para cor reção dos elementos orbitais dos planetas em apreço. Os resultados desse procedimento levam a algumas correções estatisticamente significativas, principalmente para a longitude inicial, o movimento medio, a excentri cidade e longitude do perielio no caso de Urano. E feita, ainda, análise de frequências da série temporal definida pelos residuos ao lon go do tempo. Os resultados dessa análise apontam alguns períodos com uma probabilidade que dificilmente seria associada a ruido branco. As explicações mais plausíveis para esses períodos encontrados seriam, algum termo mal determinado de perturbação por outro planeta, ou simples mente, a necessidade de correção dos próprios elementos orbitais, confor me descrito acima.

ANALISE DAS OBSERVAÇÕES DE VÊNUS AO ASTROLABIO. Helaine Barroso dos Reis (Departamento de Astronomia do Observatório Nacional) e Paulo Bene vides Soares (Instituto Astronômico e Geofísico - USP)

Durante o período de 1978 a 1980 foram observadas cerca de duas centenas de passagens de Vēnus com o astrolābio Danjon OPL-33 no Rio de Janeiro. Tais observações são potencialmente úteis para a obtenção de correções aos parâmetros orbitais do planeta e da Terra, inclusive a posição do e quinôcio, dando lugar à conexão do sistema do astrolābio a um sistema de finido pela mecânica celeste. Todavia, os efeitos de fase são muito pronunciados e como as posições tabulares fornecem as coordenadas do centro de massa do planeta, ao passo que as observações estão referidas ao foto

centro observado, um rigoroso estudo para formular uma expressão que for necesse a distância centro-fotocentro foi realizado. Primeiramente, taT estudo visou apenas aspectos geométricos. Mais tarde, foram implementa dos aspectos mais realistas, tal como a difusão da luz na atmosfera de Vênus e então, um novo modelo foi elaborado. A precisão de tais observa ções e da ordem de l" para os resíduos em distância zenital corrigidos da fase. Resíduos em ascensão reta e declinação foram também obtidos.

SOBRE A QUESTÃO DOS FUSOS HORÂRIOS E DA HORA DE VERÃO NO BRASIL. Aydano B. Carleial (Instituto de Pesquisas Espaciais - INPE)

A atual divisão do território brasileiro em quatro fusos horários é bas tante tradicional e parece atender razoavelmente as necessidades nacio nais. Ha uma diferença de três horas entre o extremo oeste do país e as nossas ilhas oceânicas, mas poucos cidadãos têm consciência deste fato, pois mais de 90% da população reside na metade do território incluída no fuso UT-3 e pouco se da conta do restante do país, apesar do progresso dos transportes e comunicações. Neste contexto, deve-se analisar o chama do horario de verão, que tem sido adotado ocasionalmente pelo governo fe deral com o proposito de economizar energia elétrica. Verifica-se que es ta prática carece de tradição bem estabelecida e aceita, além de não obe decer a critérios técnicos que respeitem a diversidade geográfica. Neste trabalho sugere-se uma revisão dos fusos horários e a regionalização da hora de verão. Esta seria empregada apenas onde o nascer do Sol ocorre significativamente mais cedo na epoca do solstício de dezembro, deixando de prejudicar a vida de nossas comunidades rurais e urbanas das regiões de baixas latitudes.

AREA: INSTRUMENTAÇÃO E TECNICAS OBSERVACIONAIS

PROCESSAMENTO DE IMAGEM COM UM MICROCOMPUTADOR. Júlio César Penereiro (Instituto Astronômico e Geofísico - USP) e <u>Luís Augusto Motta</u> (Biotec Ltda. Ind. & Com., Campinas, SP)

Para se processar uma imagem, e necessário estar munido de certas facilidades computacionais tanto anível de "hardware" como de "software". Emparticular, desenvolvemos um dispositivo com um fototransistor para lei tura de copias fotográficas, onde o sinal da medida de cada contagem e tratado por um conversor analógico-digital e armazenado na memória do computador. Depois de criado os arquivos digitalizados e armazenados, desenvolvemos uma série de programas de computação para o tratamento de algumas imagens astronômicas, onde temos a possibilidade de obter o plote de isodensidade, a eliminação do ruído, histogramas, visão de perspectiva, imagem do arquivo no vídeo ou impressora, etc. Com esta técnica de processamento de imagem é possível fazer uma análise simples e rápida de algumas características de objetos astronômicos de interesse.

AMPLIFICADOR DE BANDA LARGA E BAIXA FIGURA DE RUTDO PARA A FREQUÊNCIA DE 7 GHz. Cristiane Buianaim Georges e Ricardo Ernesto Schaal (Instituto de Pesquisas Espaciais - INPE)

Tendo-se em vista a necessidade de melhoria da temperatura de ruído do rádio-telescópio polarimétrico para o comprimento de onda de 4,3 cm (7 GHz) do Rádio Observatório do Itapetinga (Atibaia, SP) foi projetado e construído um amplificador de baixo ruído e banda larga, a ser colocado o "Front-end" do receptor. O amplificador é composto de dois estágios feitos com transistores do tipo GaAs FET NEC 1083 de baixo custo. A figura de ruído típica apresentada foi da ordem de 2dB com ganho de 2dB.Com a integração deste ao sistema objetiva-se redução de 50 a 70% da tempera tura de ruído atual, podendo-se deste modo, efetuar estudos das estruturas ultra-rápidas nas explosões solares (FINEP, CRAAM; Convênio Univ. Mackenzie).

OSCILADOR BANDA K ESTABILIZADO EM FASE. <u>Ricardo Ernesto Schaal</u> (Instituto de Pesquisas Espaciais - INPE)

Utilizando-se de um oscilador comercial do tipo "YIG-TUNNED", parte de um antigo estabilizador de fase para valvulas Klystron mostrou-se um os cilador operando na banda k (18-26,6 GHz) estabilizando em fase com uma referência externa operando em 15 MHz. Com o enlace em aberto a estabili dade do oscilador e da ordem ± 0,5 MHz apos aquecimento. O controle fino de frequencia e de ± 60 MHz através do qual e feito o enlace assegurando uma boa faixa de controle para as variações termicas e mecânicas. O dispositivo será usado como oscilador local de radiometros aplicados em radioastronomia (FINEP, CRAAM: Convênio Univ. Mackenzie).

AREA: ASTRONOMIA ESTELAR

ESTRELAS POS-T TAURI. Germano R. Quast e Carlos Alberto P.C.O. Torres (Laboratório Nacional de Astrofísica)

No decorrer do programa de estudo das estrelas BY Dra e da evolução da atividade cromosférica e da rotação em geral, foram identificadas algumas estrelas com características proprias: acentuada atividade flare, in tensa emissão em  $H_{\Omega}$  e CaII H e K, presença de lítio, etc. São características de estrelas T Tauri, embora em menor intensidade, e os objetos tam bém não estão associados a nebulosidades. Podemos, pois, considerá-las como estrelas pos-T Tauri. Serão apresentados os resultados observacionais até agora obtidos, incluindo sua variação fotométrica, que em pelo menos uma das estrelas (CoD -2711363) apresenta um comportamento inusitado, de safiando todos os modelos.

PERDA DE MASSA ATRAVÉS DAS ONDAS ALFVÉN TURBULENTAS. R. Opher e V.J.S. Pereira (Instituto Astronómico e Geofísico - USP)

Sugerimos um modelo no qual utilizamos um fluxo de ondas Alfven turbulen tas, dirigidas para fora de uma atmosfera estelar, como mecanismo de ace leração do vento. Com esse modelo obtemos: l) a taxa de perda de massa e 2) a velocidade do vento em função: (i) da distância da estrela; (ii) dos parametros das ondas Alfven turbulentas, como: o número de onda minimo e máximo, fluxo e do indice espectral; e (iii) dos parametros da estrela como: massa, raio e campo magnético.

RADIAÇÃO POLARIZADA DOS SISTEMAS AM HERCULIS. <u>J.B.G. Canalle</u> e <u>R. Opher</u> (Instituto Astronômico e Geofísico - USP)

Analisamos a radiação polarizada produzida pela coluna de acresção em sistemas AM Herculis, levando em conta, em particular, o gradiente do campo magnético da coluna. Comparamos nossos resultados com os dados observacionais do sistema CW 1103+254. Achamos um bom acordo com as observações usando uma temperatura relativamente baixa  $\sim 2~\text{keV/kg}$  que discorda das publicações recentes que argumentam que somente uma temperatura alta ( $\sim 20~\text{keV/kg}$ ) pode explicar os dados observacionais.

VARIABILIDADE RĂPIDA EM ESTRELAS SEMIREGULARES. Avelino Manuel Gōmez Balboa, Ramiro de la Reza (Departamento de Astronomia do Observatorio Na cional)

Variações rấpidas da ordem de l hora foram detectadas na estrela gigante R Crateris cujo período őptico é 160 dias. A variabilidade foi primeira mente observada em 1980 por A. Gómez Balboa, J. Lepine e N. Pires na faïxa rấdio e posteriormente também observada por S. Livi e T. Bergmann com fotometria DDO. Na faixa rấdio as variações foram observadas na linha ma ser de  $\rm H_2O$  em 22 GHz com uma escala da ordem de l hora e na faixa  $\rm \tilde{o}ptica$  as variações mais importantes ( $\sim 40$  minutos) foram no filtro 42 dominado pela linha de CaI ( $\lambda$  4227) e no filtro 45 pelas bandas de TiO ( $\lambda$  4585). Agora apresentamos o resultado de observações espectroscopicas de alta resolução temporal realizadas com o reticon e posteriormente com o OMA na estrela R Crateris e também em L $_2$  Pup e II Hya, as quais também são semirregulares de curto período.

LINHAS DO Fe II EM ESTRELAS Be PECULIARES. <u>Dalton de Faria Lopes</u> (Departamento de Astronomía do Observatorio Nacional) e <u>Jose Antonio de Freitas</u> Pacheco (Instituto Astronomico e Geofísico - USP)

São apresentados os resultados das observações desses objetos nos "ulti"mos dois anos e sua interpretação.

FOTOMETRIA UBY DE VARIĀVEIS IRREGULARES. <u>D. Cieslinski</u> (Instituto Astro nomico e Geofísico - USP), <u>João E. Steiner e Francisco J. Jablonski</u> (Instituto de Pesquisas Espaciais - INPE)

Foram realizadas medidas fotométricas de 200 estrelas variáveis irregula res do Hemisfério Sul. O objetivo é agrupar estas estrelas em subclasses com propriedades fotométricas semelhantes e descobrir estrelas classificadas incorretamente; em particular, estamos interessados em variáveis ca taclísmicas, binários de raios-X, quasares, etc. Das duzentas estrelas medidas, cerca de 80% são supergigantes vermelhas e 20% estão classificadas incorretamente. São apresentados estudos estatísticos envolvendo a cor B-V, latitude galática, magnitude, amplitude de variação, etc. Dis cute-se também, objetos específicos que podem ser classificados como bīnários de raios-X, variáveis cataclísmicas, FU Orionis, T Tauri, Cefeidas anás, etc (FAPESP, CNPq).

MASSAS DE ESTRELAS VERMELHAS EM AGLOMERADOS ABERTOS. Roberto Dell'Aglio Dias da Costa, Miriani Griselda Pastoriza e Jorge Ricardo Ducati (Departamento de Astronomia do Instituto de Fisica da Universidade Federa) do Rio Grande do Sul)

São previstas massas entre 1.0 e 1.2 M<sub>a</sub> para as estrelas gigantes verme lhas (Schmidt-Kaler, 1982). As massas das gigantes vermelhas presentes nos aglomerados abertos NGC 2516, NGC 3766 e NGC 5460, foram estimadas de duas maneiras diferentes: através de fotometria DDO elas foram calculadas pela fórmula desenvolvida por Osborn (1975), que envolve os parâmetros log g, T ef. e M bol, obtidos fotometricamente. Outra estimativa das massas foi feita a partir dos diagramas H - R de Iben (1967) subtraindose dos resultados daí obtidos a massa perdida por vento estelar no ramo das gigantes. Notou-se que existe uma aparente contradição entre os dois conjuntos de resultados obtidos. Esta contradição pode ser explicada pe la existência de processos violentos de perda de massa ou por erros existentes nas calibrações dos resultados obtidos fotometricamente.

MATERIA CIRCUNSTELAR EM ESTRELAS QUENTES. <u>Jorge Ricardo Ducati</u> (Departa mento de Astronomia do Instituto de Física <u>da Universidade Federal</u> do Rio Grande do Sul)

Dados fotométricos uvbyß para 8000 estrelas B, A e F são utilizados para mapear a distribuição de material interestelar num raio de 100 parsecs do Sol. Analisa-se o valor da extinção interestelar dentro de regiões cu jo volume pode ser variado, buscando-se evidências da existência de efet tos sistemáticos favorecendo maiores valores de extinção para estrelas quentes. Diagramas da distribuição da extinção são construidos para diferentes conjuntos de estrelas (CNPq, FINEP).

NSV 12615: UMA NOVA VARIĀVEL CATACLĪSMICA ECLIPSANTE. Francisco J. Ja blonski e João E. Steiner (Instituto de Pesquisas Espaciais - INPE)

Observações fotométricas realizadas em meados de 1985 com o telescopio de 1,6 m do Laboratório Nacional de Astrofísica, mostraram que a estrela nº 12615 do novo catálogo de estrelas suspeitas de variabilidade è um sistema binário eclipsante, com período orbital de 88,5 min. As observações existentes sobre NSV 12615 permitem classificar o objeto como uma nova ana do tipo SU UMa. Discute-se a possibilidade de se detectar indiretamente a emissão de ondas gravitacionais do sistema, através de medídas precisas do instante de eclipse da ana branca.

CALCULO DE PERDA DE MASSA DE ESTRELAS WOLF-RAYET CARBONADAS. Maria Auxi liadora Machado (Departamento de Astronomia do Observatório Nacional) e Jose Antonio de Freitas Pacheco (Instituto Astronômico e Geofísico - USP)

Neste trabalho desenvolvemos um mētodo para calcular as taxas de perda de massa de estrelas Wolf-Rayet, atravēs da largura equivalente de linhas relevantes. Os espectros destas estrelas foram obtidos com o OMA-CASSEGRAIN, no LNA. As estrelas Wolf-Rayet possuem envelope em expansão. Devido a esse fato utilizamos a aproximação de Sobolev no desenvolvimen to da expressão da largura equivalente que ficou em função da taxa de massa perdida. Nas estrelas Wolf-Rayet carbonadas as linhas de interesse são:  $\lambda = 4647$  Å,  $\lambda = 5696$  Å (CIII) e  $\lambda = 5801$  Å (CIV). Para  $\lambda = 5696$  do

CIII, utilizamos um modelo de um atomo a 5 níveis, onde não consideramos os efeitos de ionização e de emissão induzida. Determinaremos a população dos níveis, atravês das equações de equilibrio estatístico, para obtermos a função fonte da linha. Calcularemos também a probabilidade de escape, resolvendo assim o problema de transferência radiativa num ponto do envelope, que junto com as larguras equivalentes das linhas possibilitarão os calculos das taxas de perda de massa.

VARIAÇÃO POLAR DA PRESSÃO DE RADIAÇÃO EM ESTRELAS GIGANTES. Francisco X. de Araújo (Departamento de Astronomia do Observatorio Nacional) e Jose Antonio de Freitas Pacheco (Instituto Astronômico e Geofísico - USP)

Uma característica bem estabelecida de estrelas OB e a presença de umflu xo demassa. Para as estrelas Be esse fenomeno e particularmente importan te. Até agora esse fluxo tem sido tratado pelo modelo de vento de Castor, Abbott e Klein (Ap. J. 195, 157-174), que considera um fluido que escoa radialmente devido essencialmente a pressão de radiação. Como sabemos que as estrelas Be apresentam grandes velocidades de rotação deve-se es perar que seu brilho não esteja uniformemente distribuido (teorema Von Zeipel). Assim a pressão de radiação deve variar com a latitude este lar. Para consequirmos tal dependência admitimos que a atmosfera de um objeto pode ser aproximada em cada ponto de sua superfície por uma atmos fera plano-paralela com os valores locais de temperatura e gravidade. Nu ma primeira aproximação admitimos também que o objeto irradia como um cor po negro. Um caso específico de uma estrela B3V que gira com velocidade de rotação ω=3/4ωc (velocidade crītica "de quebra") foi tratado. En contramos que a variação entre a força radiativa (por unidade de volume) no polo e no equador é significativa. A seguir pensamos fazer uso de mo delos de atmosferas para encontrar o comportamento da intensidade Iv (0) e consequentemente a dependência polar da força radiativa de uma maneira mais rigorosa.

ESPECTROSCOPIA DE VARIÁVEIS IRREGULARES. <u>João E. Steiner, Francisco J. Jablonski (Instituto de Pesquisas Espaciais - INPE) e D. Ciestinski (Instituto Astronomico e Geofísico - USP)</u>

São apresentados observações e análises de medidas espectroscôpicas de variáveis irregulares do Hemisfério Sul. Estas estrelas foram observa das fotoeletricamente e selecionadas em função da cor B-V e latitude galática. São analisadas estrelas com emissão em HeII\(\text{A686}\) (BY Aps e NSV 8627); estrelas do tipo Be com H\(\text{a}\) em emissão (V651 CrA); estrelas tipo T Tauri (V704 Cen); estrelas tipo FU Ori 9 CrA e FH Sct) etc.

O PAPEL DAS LINHAS DE He COMO INDICADORES DE PLASMAS DE ALTA TEMPERATURA EM ESTRELAS TARDIÀS. <u>Celso Corréa Batalha e Ramiro de la Reza</u> (Departa mento de Astronomia do <u>Observatorio Nacional</u>)

Por meio de soluções auto-consistentes das principais linhas do He, em atmosferas homogêneas de gigantes tardias, anas e o Sol encontra-se que a linha de ressonância do He II,  $\lambda$  304 Å, e o continuum He II a  $\lambda$ 227 Å, têm um papel fundamental na formação do He II  $\lambda$  1640 e das linhas He I  $\lambda$  5876 (D<sub>3</sub>),  $\lambda$  584 e  $\lambda$  10830. Esta importância depende do grau de pena tração do fluxo XUV, especialmente da radiação  $\lambda$  304, nas camadas atmos féricas mais interiores, onde a ionização do He I será condicionada pela

intensidade das radiações com  $\lambda$  504 Å. Esta penetração é mais importante, devido às baixas densidades, em gigantes do que em anãs e o Sol. Se for considerada uma radiação coronal, He II será sobreionizada e o efei to da radiação  $\lambda$  304 atenuada. Concluímos que as correlações estabelect das por diversos autores entre  $\lambda$  10830, a linha D $_3$  ( $\lambda$  5876) com os fluxos coronais, podem não refletir uma conexão causal. Um efeito resultante entre a radiação  $\lambda$  304 e as densidades eletrônicas na região de transição é um mecanismo efetivo para povoar o nível tripleto metaestável ls 2s, produzindo as linhas D $_3$  e  $\lambda$  10830. Em outras palavras a linha  $\lambda$  10830 é um bom indicador das condições térmicas na região de transição, lugar natural da radiação  $\lambda$  304.

SINTESE TEÒRICA DE INDICES FOTOMETRICOS. Beatriz L.S. Barbuy e Ximena H. Canales (Instituto Astronômico e Geofisico - USP)

O índice de cor C(41-42) da fotometria DDO mede a intensidade da banda de cianogênio azul 416. Na elaboração deste sistema fotomêtrico, acreditava-se que este índice fosse um bom indicador de metalicidade. Porêm, Zinn (1973) verificou que certas estruturas espectrals apresentam-se ano malas em estrelas de aglomerados globulares, ou seja, as intensidades das estruturas variam em estrelas de mesmo tipo espectral e classe de luminosidade. A banda de cianogênio apresenta este tipo de anomalia, po dendo variar de atê um fator 10, num mesmo aglomerado globular. Fazendose um estudo, atravês da síntese teórica espectral pode-se calcular qual a máxima variação do índice C(41-42) durante a evolução de uma estrela de baixa massa no diagrama H-K, e assim fazer uma estimativa do erro que este indice acarreta numa determinação de abundância (FAPESP).



#### INDICE DE AUTORES

Abraham, Z 21	Lēpine, J.R.D 20
Afonso, G.B 29	Lopes, D.F 34
Almeida, A.A 25	Machado, M.A 35
Andrade, A.A 22	Maciel, W.J 20
Araūjo, F.X 36	Martins, R.V 30,31
Araŭjo, J.C.N 23	Messerotti, M 25
Balboa, A.M.G 34	Monteiro do Vale, J.L 21
Barbuy, B.L.S 37	Motta, L.A 32
Barroso Jr., J 28	011veira, S 20
Batalha, C.C 36	Dpher, R 23,24,25,33,34
Benevides-Scares, P 31	Pacheco, J.A.F 34,35,36
Braz, M.A 21	Paes Leme, N.M 26
Canales, X.H 37	Pastoriza, M.G 22,35
Canalle, J.B.G 34	Penereiro, J.C 32
Cancoro, A.C.O 21	Pereira, V.J.S 33
Carleial, A 32	Pessotto, G 25
Carvalho, J 24	Piazza, L.R 26,28,29
Carvalho, R.R 30	Quast, G.R 28,33
Cieslinski, D 34,36	Reis, H.B 31
Cliver, E.W 27	de la Reza, R 21,34,36
Correia, E 26,27	Sanzovo, G.C 21
Costa, A.M 28,29	Sawant, H.S 25,26
Costa, J.E.R 25,27,28	Scalise Jr., E 21
Costa, R.D.D 22,35	Schaal, R.E 32,33
Cunha, K 21	Singh, P.D 25
Dal Pino, E.M.G 24	Steiner, J.E 23,34,35,36
Dennis, B.R 27	Takakura, T 27
Ducati, J.R 22,35	Tapping, K.F 27
Georges, C.B 32	Torres, C.A.P.C.O 33
Gomes, R.S 31	Trevisan, R.H 25,26
Gruenwald, R.B 22	Vaz. A.M.Z 27
Hetem, J.C.G 20	Veiga, C.H 30,31
Homor, J.L 25,27,28	Viegas-Aldrovandi, S.M 22
Jablonski, F.J 28,34,35,36	Vilas Boas, J.W.S 21,26,27
Jafelice, L.C 23	Zlobec, P 25
Kaufmann, P 25,26,27,28	
Kirhakos, S.D 23	
Kuntz, V.L.R 26	
Lazzaro, D 30,31	

Impresso na Seção de Ilustrações Técnicas do Instituto Astronômico e Geofísico da Universidade de São Paulo.

	PROPOSTA DE ASSINATURA DE RENOVAÇÃO	
NOME: ,	***************************************	
ENDEREG	;0:	
BAIRRO:	CEP:	
CIDADE:	EST*DO:	
DATA:	// ASSINATURA:	
RAMO DE	ATIVIDADE:	
Es Es	studante Secundário	
☐ Es	tudante Universitario	
☐ Es	tudante de Pos-Graduação	
☐ Pr	ofessor Universitario	
☐ Pr	ofessor de Ensino Médio	
Pe	squisador - Área de Ciências Exatas	
☐ Pe	squisador - Ārea de Ciências Biológicas	
☐ Ec	conomi sta	
☐ Ar	quiteto, Engenheiro	
☐ Mé	dico	
☐ Ad	vogado	
☐ 0u	tro nivel superior	
☐ 0u	tras atividades	
60,00	is CHEOUE NOMINAL à SOCIEDADE ASTRONOMICA SEASILEIRA no valor de (preço válido até Junho/86), cobrindo a assinatura da 1 ano (4 da compres o de compres de	
	DE SETRONOMICA BRASILEIRA Oscal ne 30.527	
	aol Stofano, 5.200 - Agua Funda	
	São Paulo 39	